

A decorative graphic consisting of a horizontal band of small, grey, semi-transparent square particles. The particles are arranged in a wavy, undulating pattern across the width of the slide. Some particles are highlighted in red and green, scattered throughout the pattern.

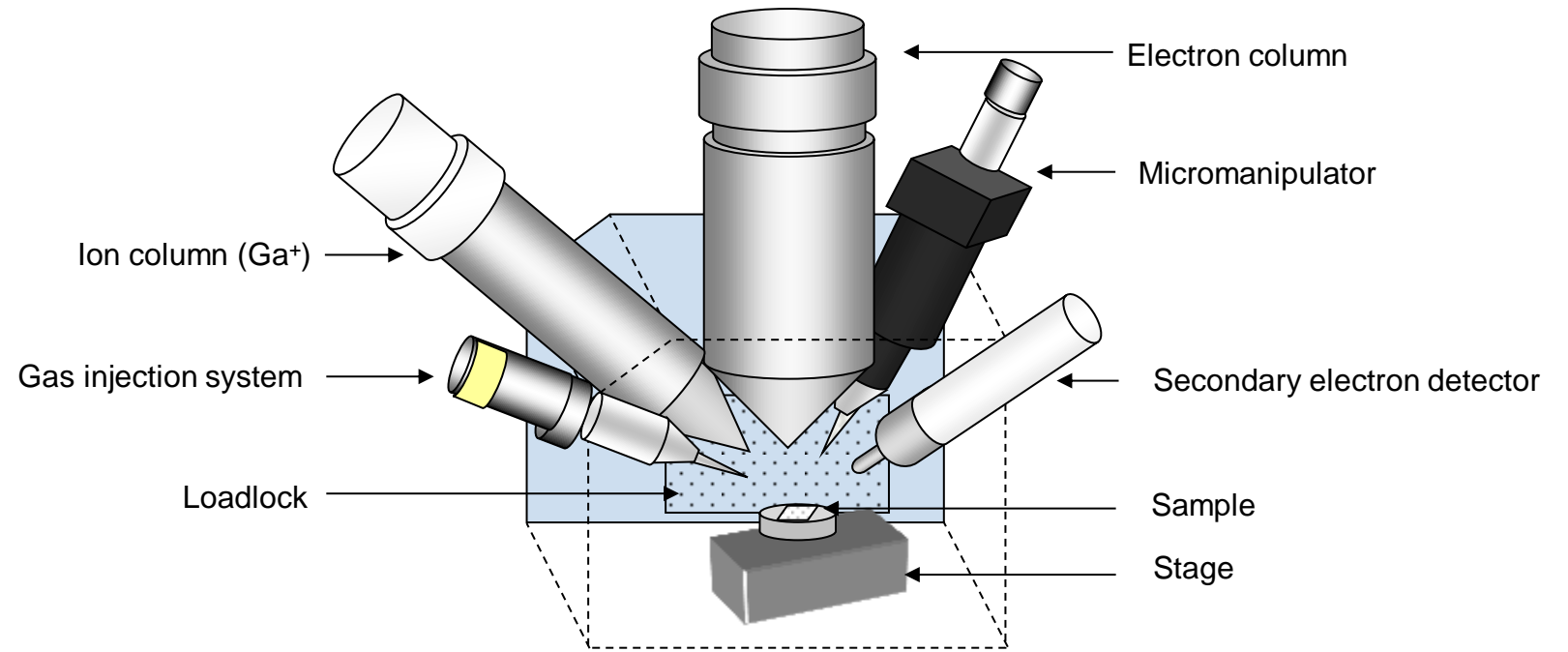
PLASMA FIB: PRINCIPES ET APPLICATIONS

Guillaume Audoit, CEA Leti, Grenoble

- **Quelques rappels sur les FIBs**
- **Technologie FIB Gallium vs. technologie Plasma FIB**
 - Design des sources
 - Gamme des courants et échelles associées
- **Champs d'applications FIB et spécificités applicatives du PlasmaFIB**
- **Artefacts**
- **Conclusions**

- Premiers développements dans la fin des 70's, début 80's
- Premiers équipements commerciaux dans les 90's, des FIBs à source gallium liquide
- Champs d'applications liés à l'industrie du semi-conducteur
 - Contrôle procédés de fabrication,
 - Analyse de défaillance, retour client
 - Modification de circuit
- **Aujourd'hui, le FIB est utilisé dans de très nombreux domaines**
 - Métallurgie
 - Biologie
 - Prospection ressources (minières et pétrolifères)
 - Géologie
 - Dentaire
 - ...

FIB: QUELQUES GÉNÉRALITÉS



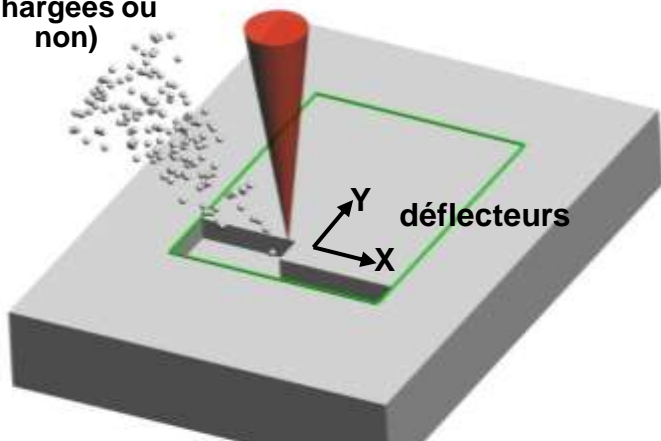
- Gravure
- Dépôts
- Manipulations

- Imagerie
- Local

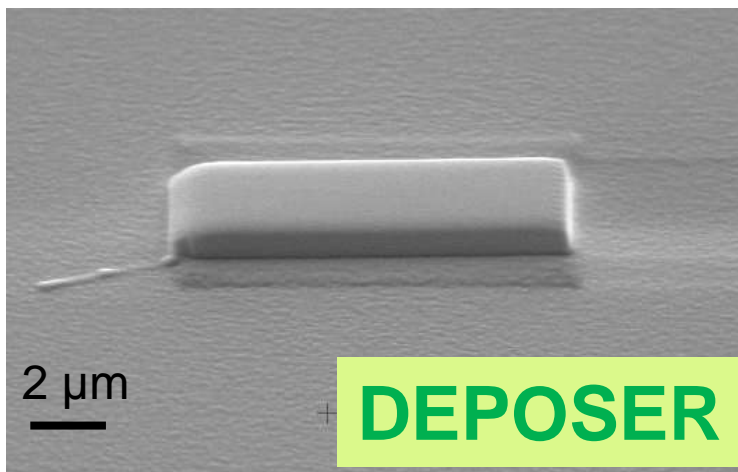
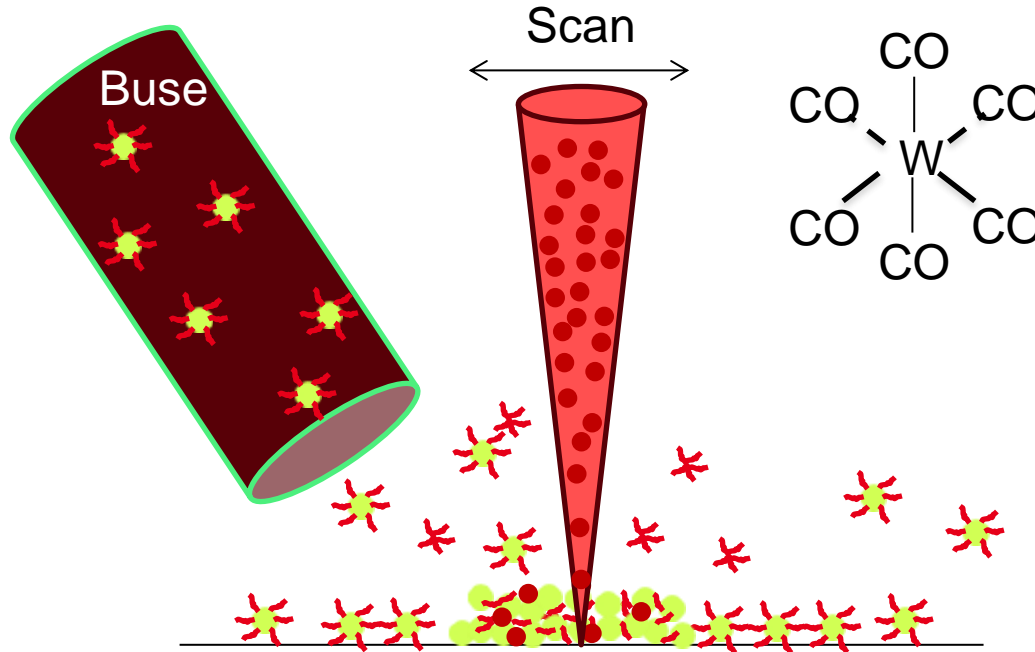
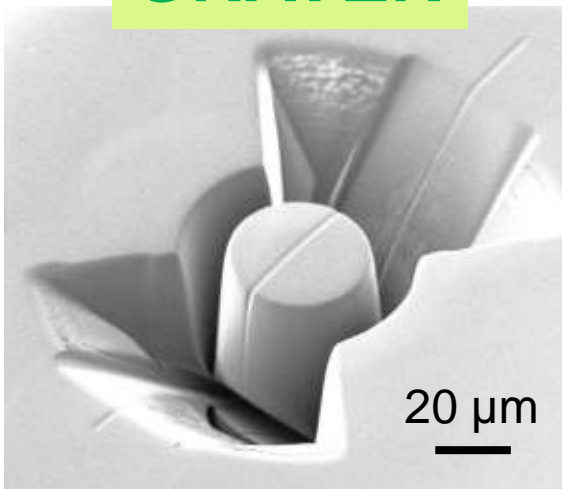
CAPACITÉS D'UN FIB

Source d'ions

Espèces gravées
(chargées ou non)

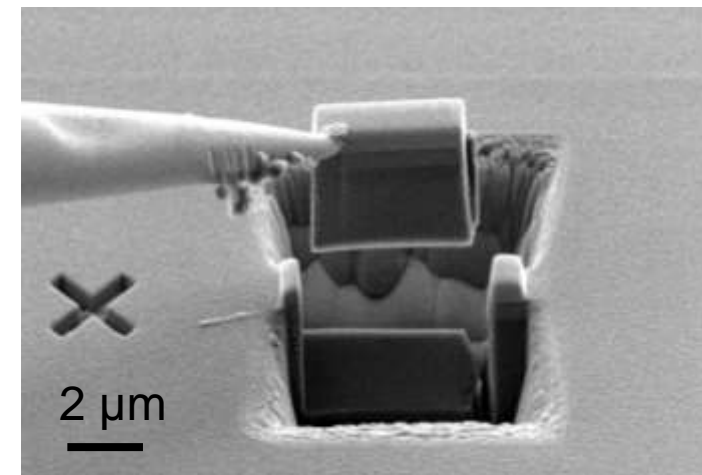


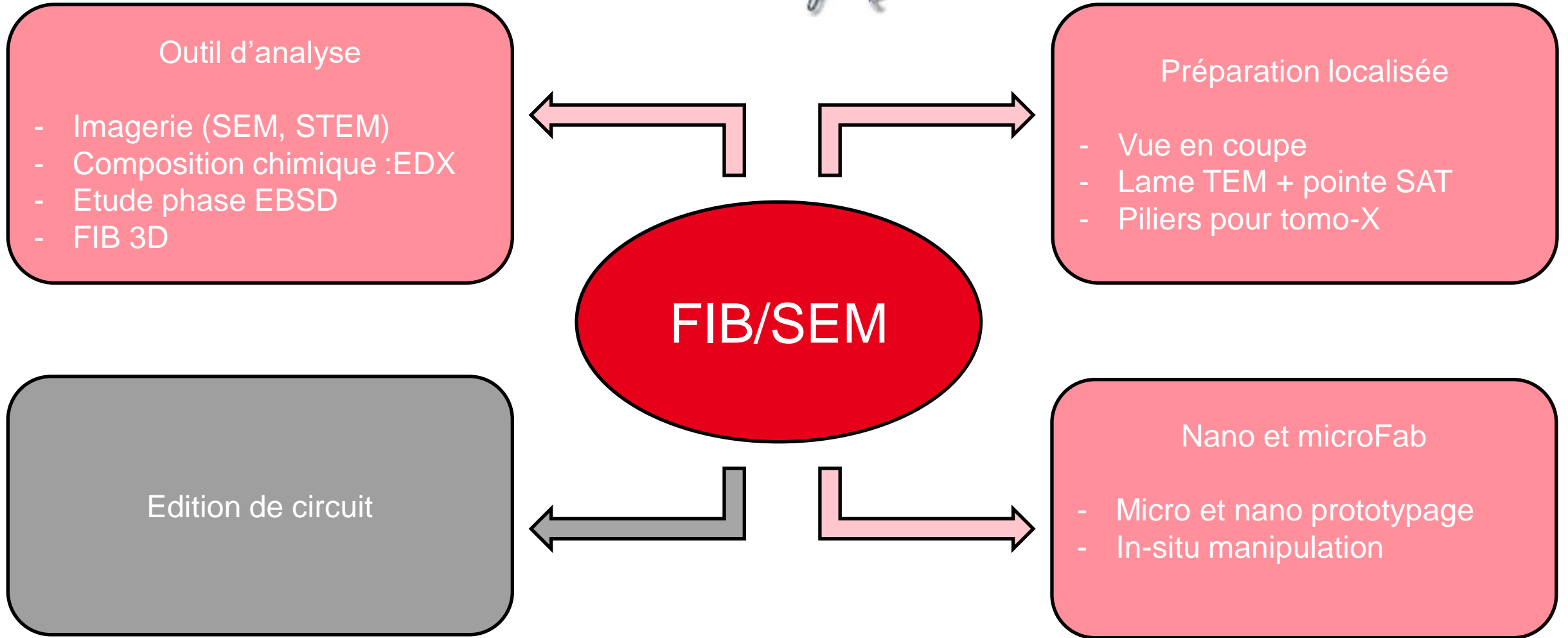
GRAVER



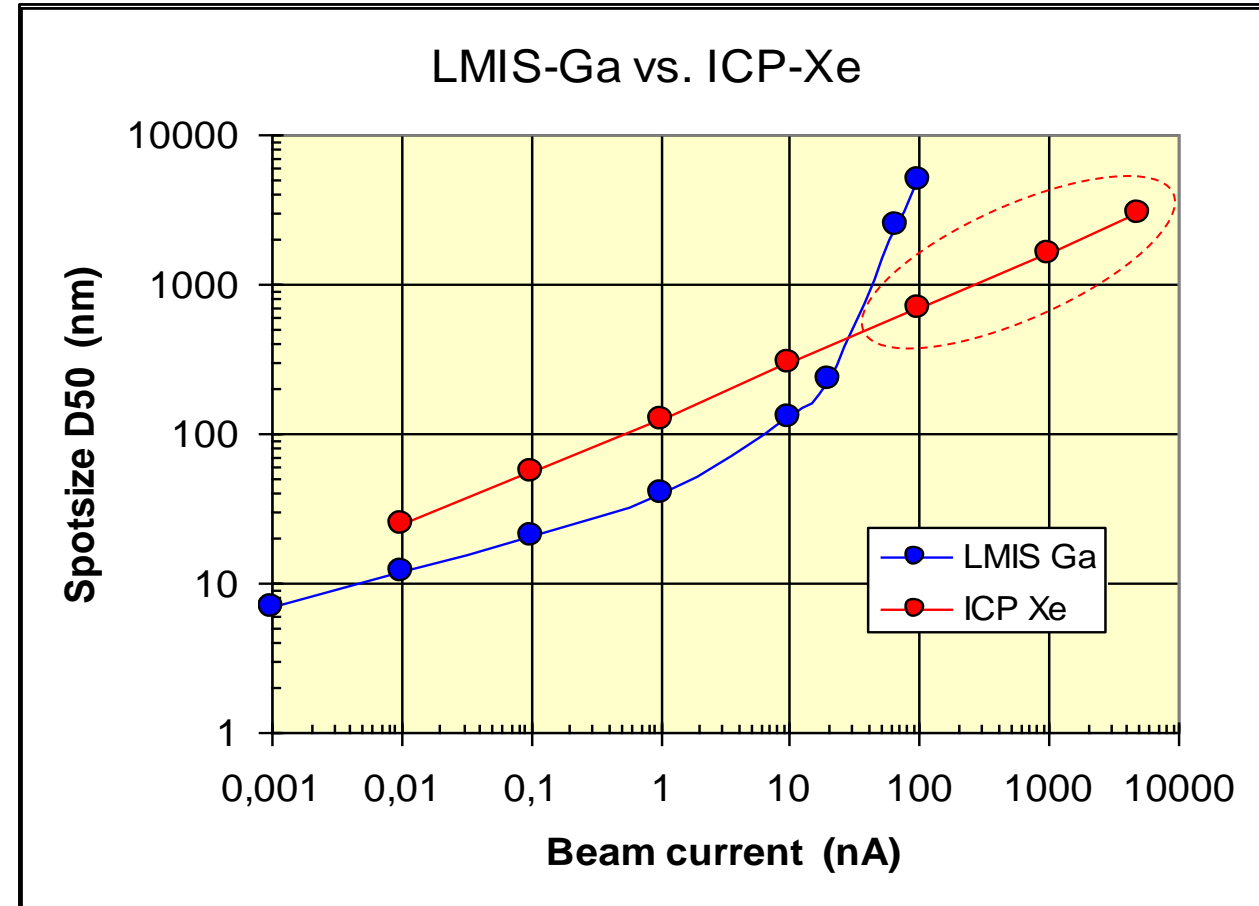
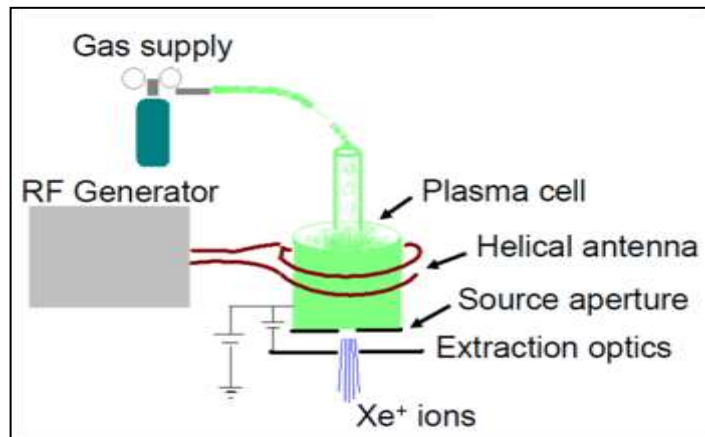
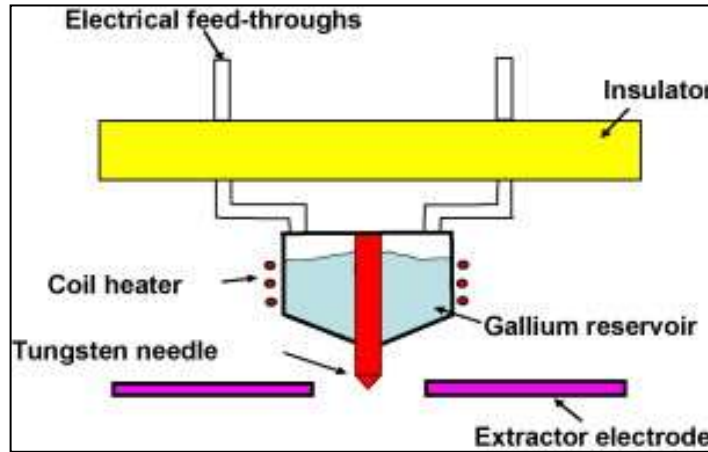
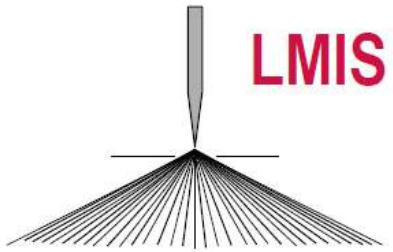
DEPOSER

MANIPULER



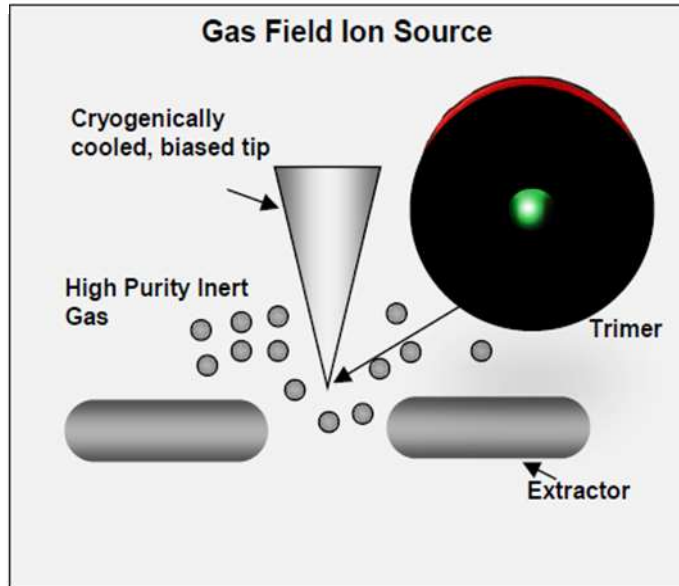


GALLIUM LIQUIDE VS. PLASMA XÉNON

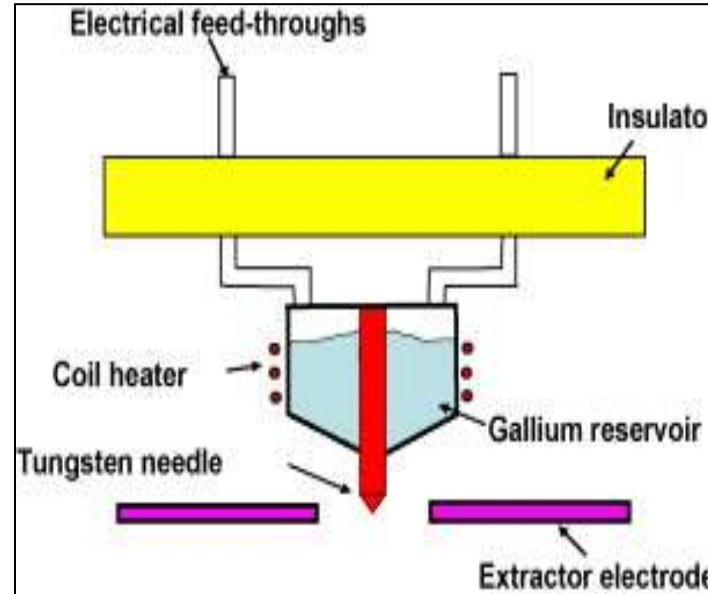




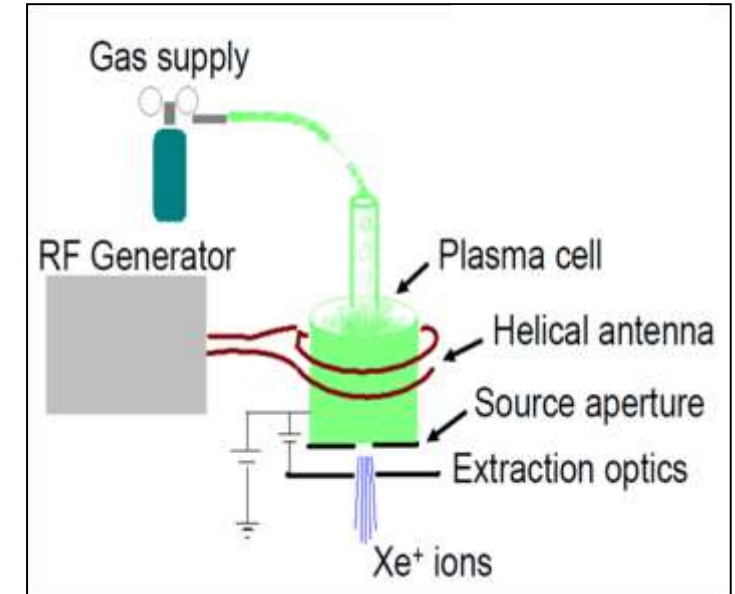
Microscope ionique Hélium



FIB à source Gallium liquide



Plasma FIB Xénon



Taille de faisceau:
Echelle de travail:

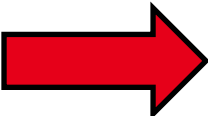
0,35nm
qq nm à qq μm

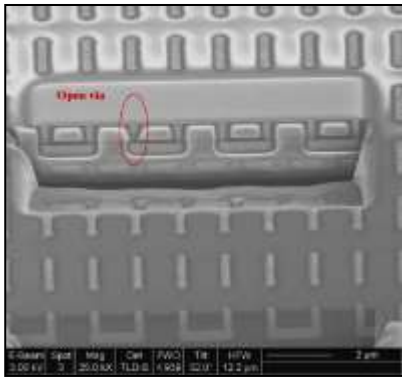
← 5nm
qq 100nm à qq 10μm →

20nm
qq μm à qq 100μm

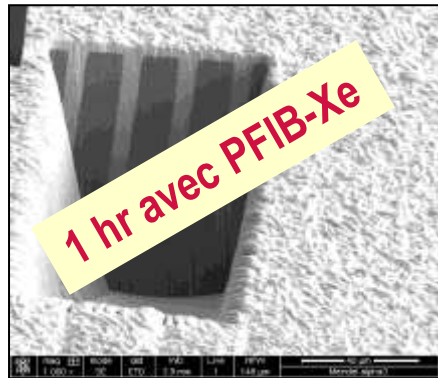
SOURCE IONIQUE PLASMA

- Intensité des courants jusqu'à quelques μA (vs 100nA pour LMIS Ga)
- Le Xénon est plus lourd que le gallium

 Un PFIB grave plus vite
Ou plutôt
 A temps égal, de plus grand volumes peuvent être gravés



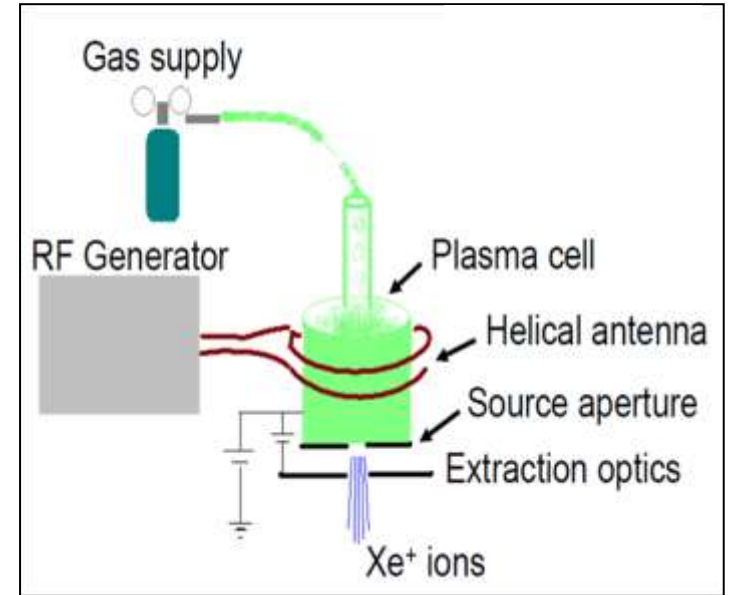
More Moore:
 Volumes: $10 \times 10 \times 10 \mu\text{m}^3$
 Temps total ~ **3-10 min avec FIB-Ga**



More than Moore:
 Volumes: $100 \times 100 \times 100 \mu\text{m}^3$
 Temps total ~ **50 hrs avec FIB-Ga**

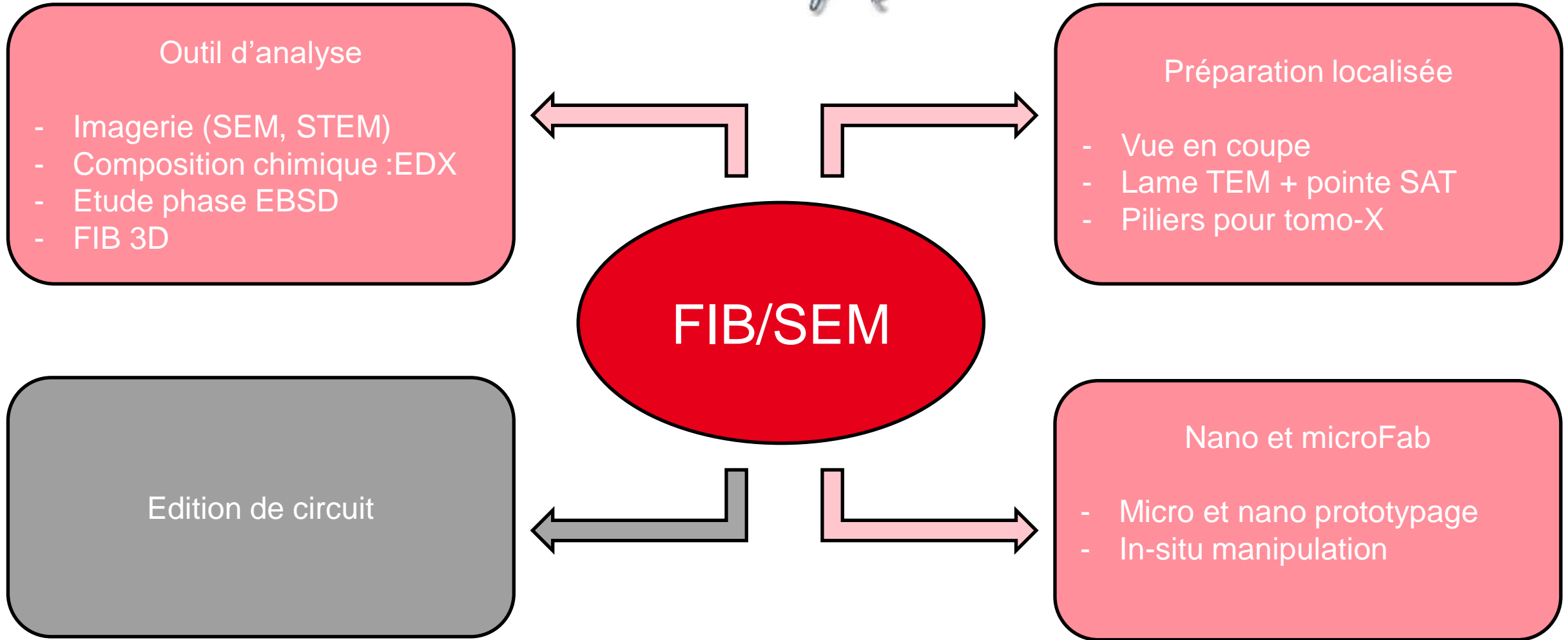


Plasma FIB Xénon

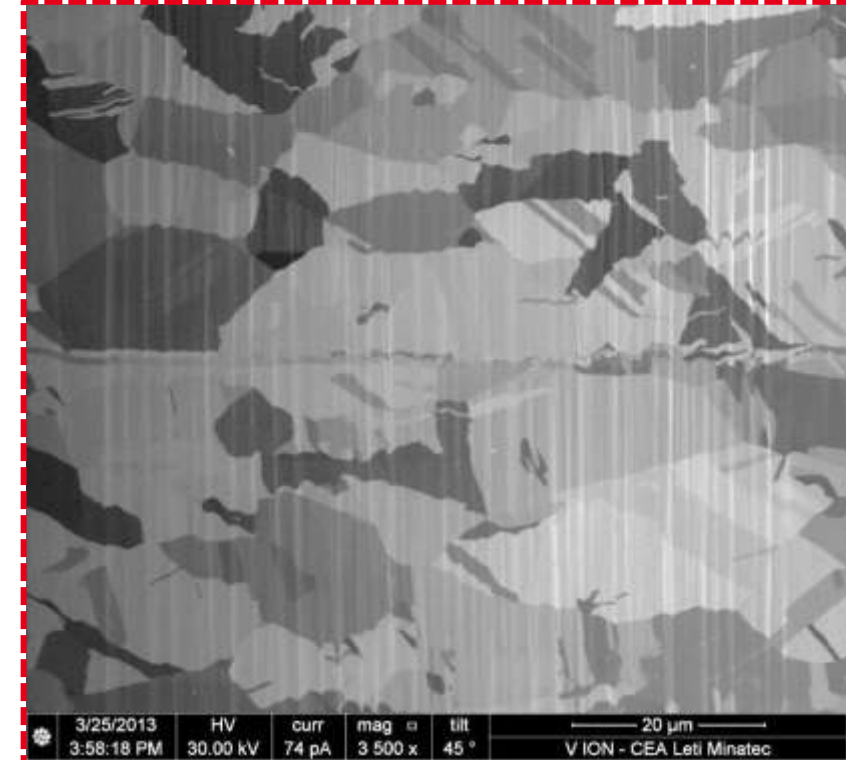
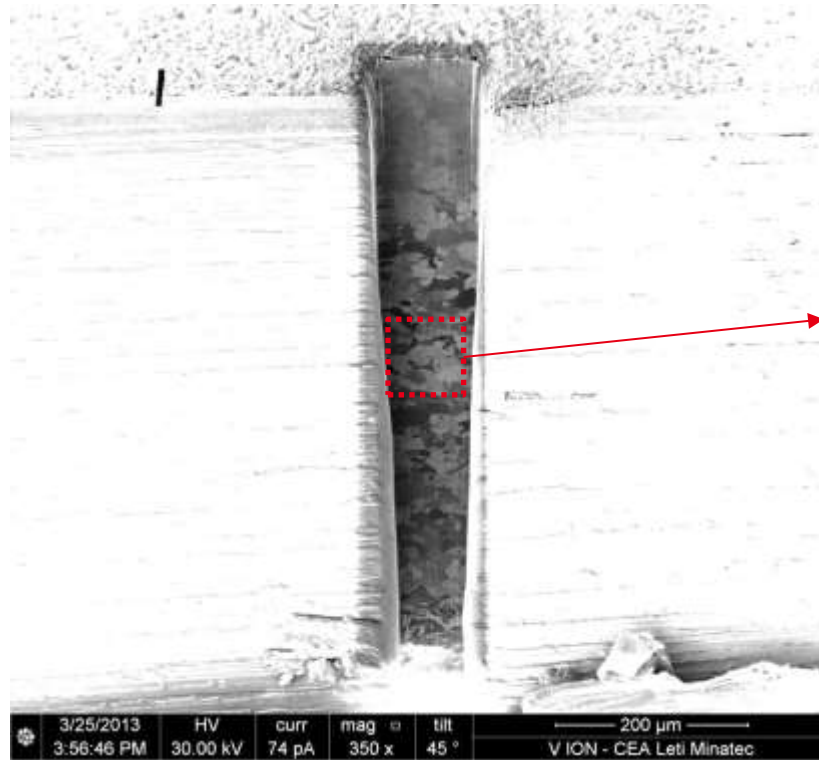
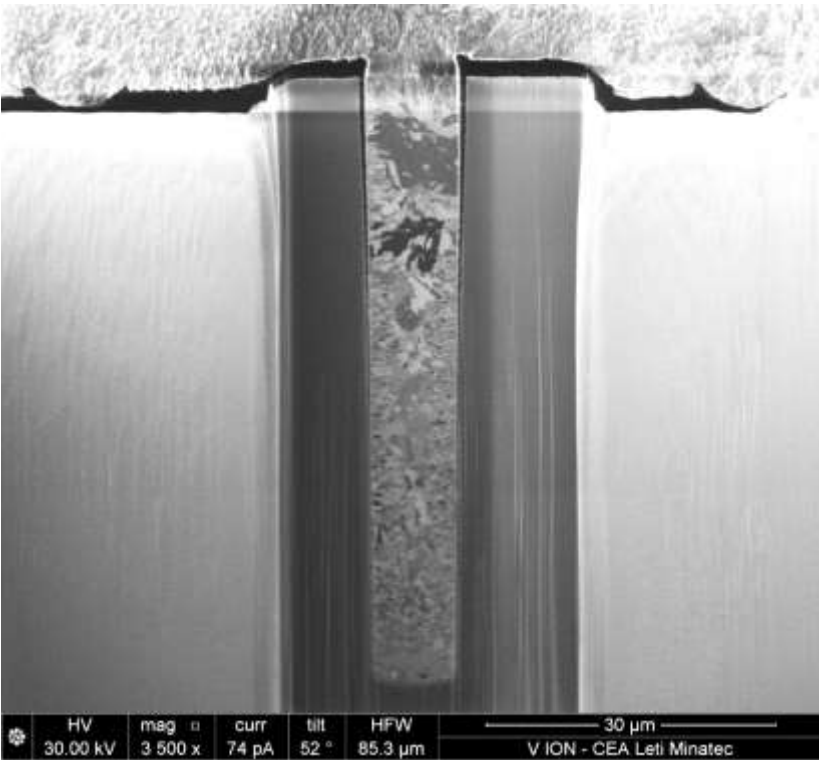


Kwakman et al., M&M 2011





VUE EN COUPE: GRANDE PROFONDEUR

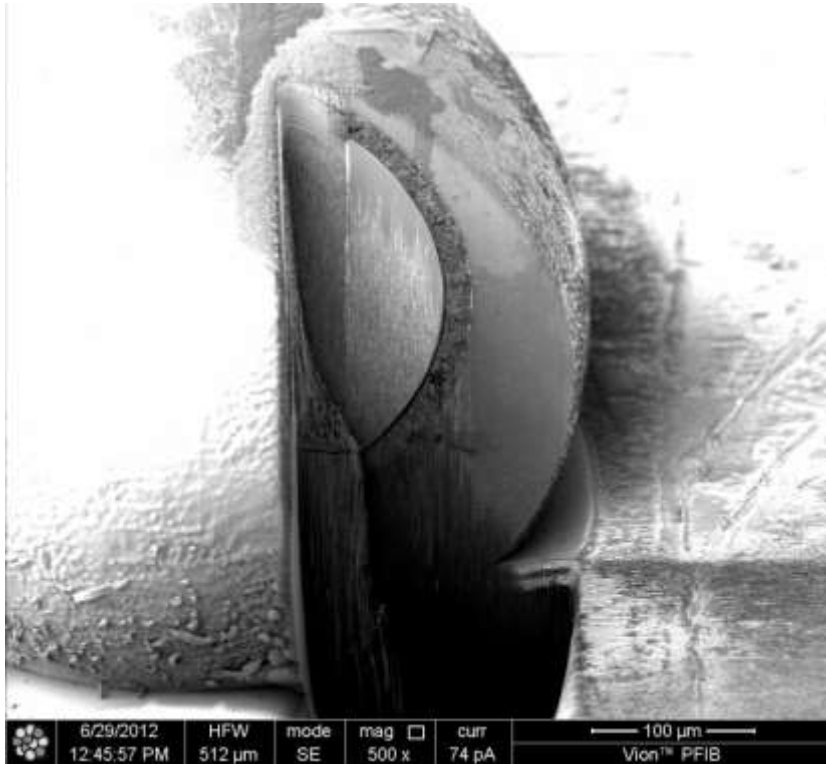


Through Silicon Via
 Connection en Cuivre dans du silicium
 10μm x 100μm
 2hr de coupe

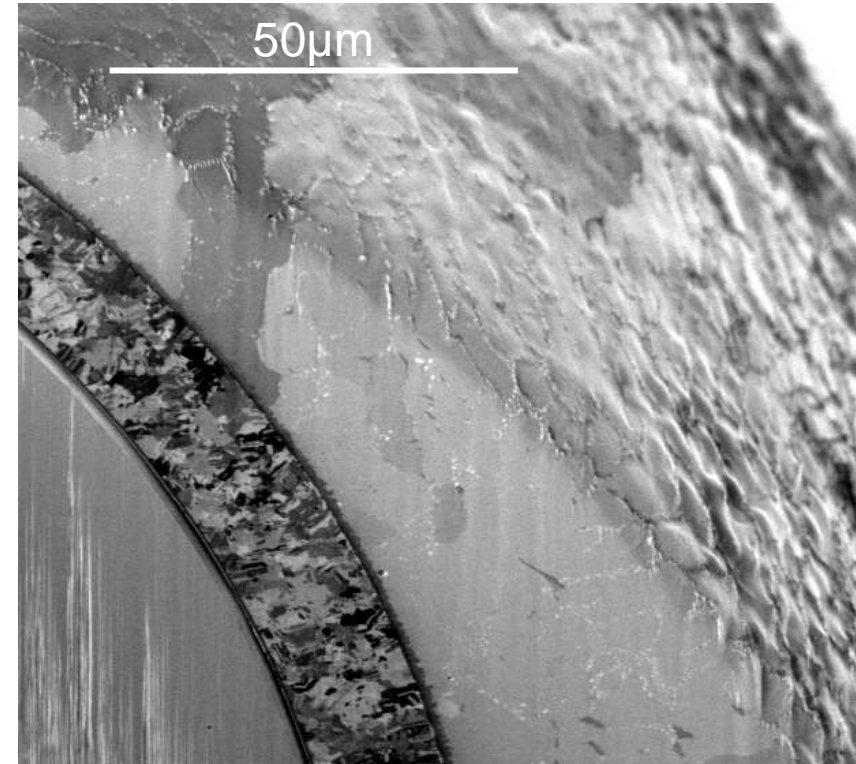
Collage moléculaire Cuivre/Cuivre
 Coupe en bord d'échantillon
 1mm d'épaisseur
 2hr de coupe

Imagerie ionique de l'interface
 de collage

VUE EN COUPE

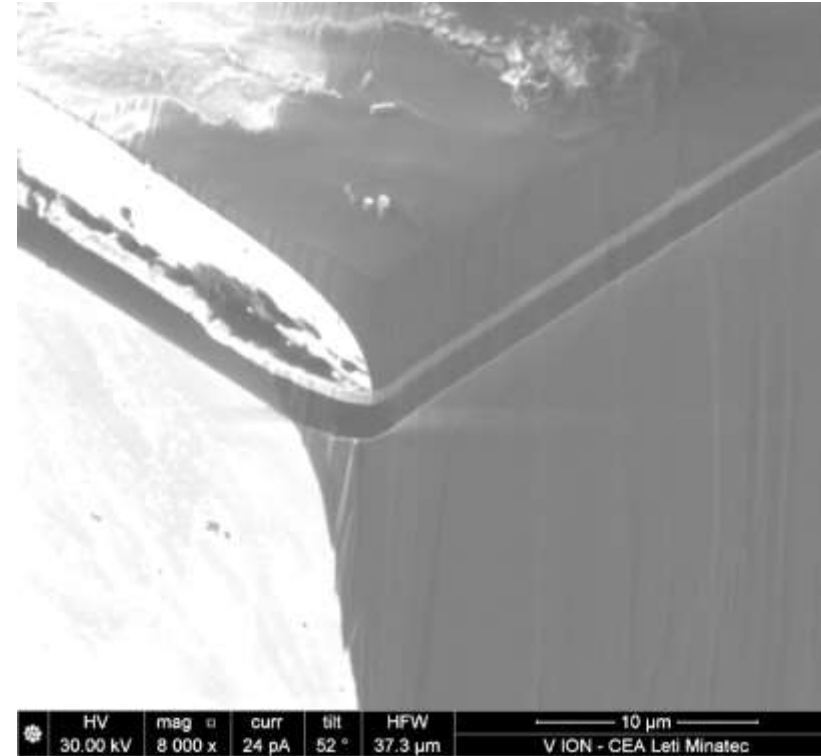
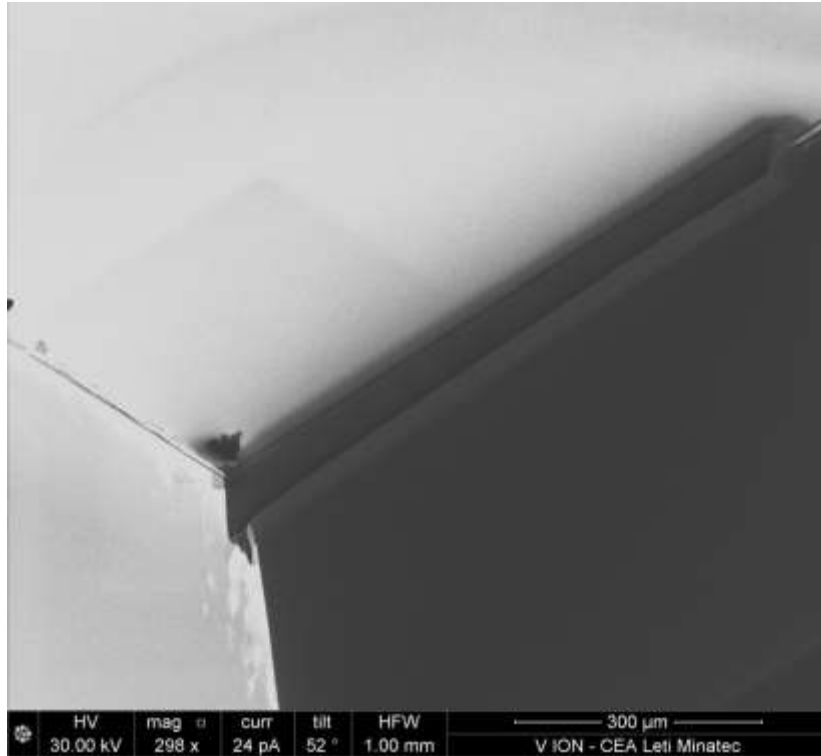


Bille diametre 500µm
 Connection en Cuivre dans du silicium
 10µm x 100µm
 2hr de coupe



Imagerie ionique de la structure
 périphérique

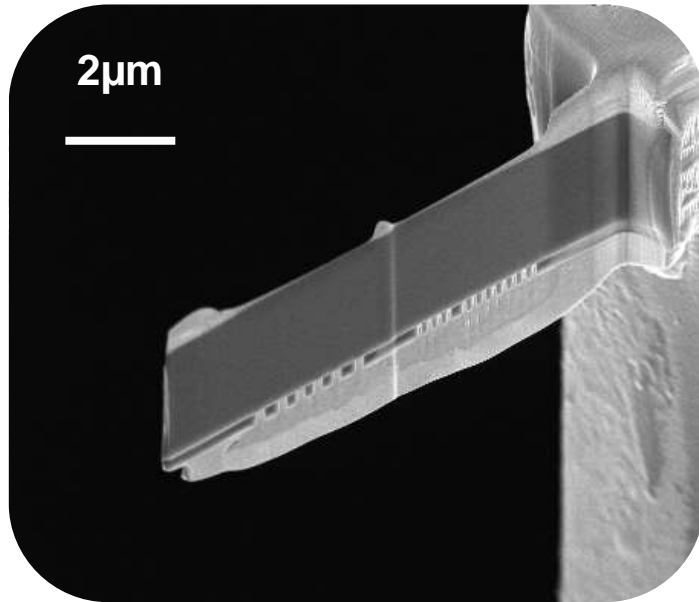
VUE EN COUPE: LONGUE DISTANCE



Recherche de défauts sur une “longue” distance
Coupe en bord d'échantillon sur 1 mm de long
2h

LAMES TEM

- Obtenir une grande lame



10 x 5 µm
LMIS Ga FIB

ThermoFisher
SCIENTIFIC
Kwakman et al., M&M 2011

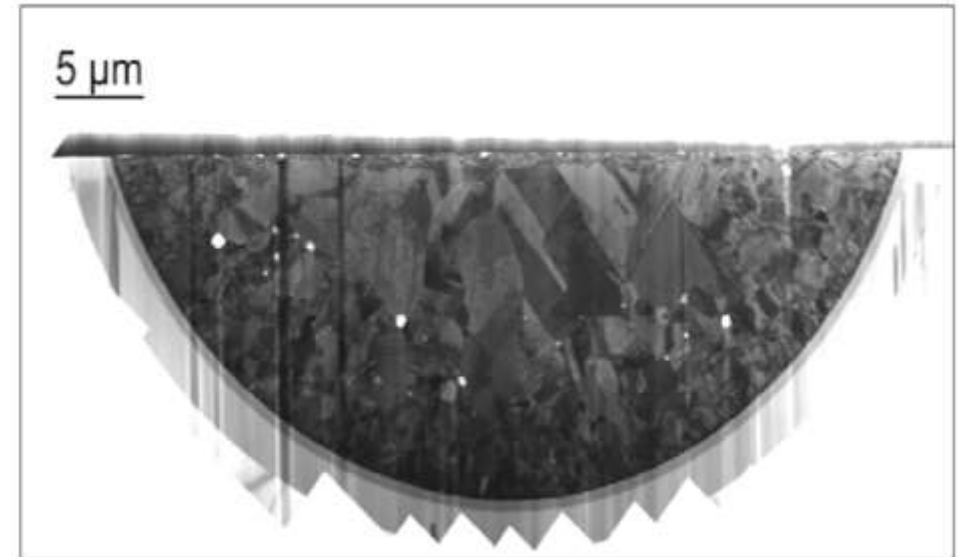
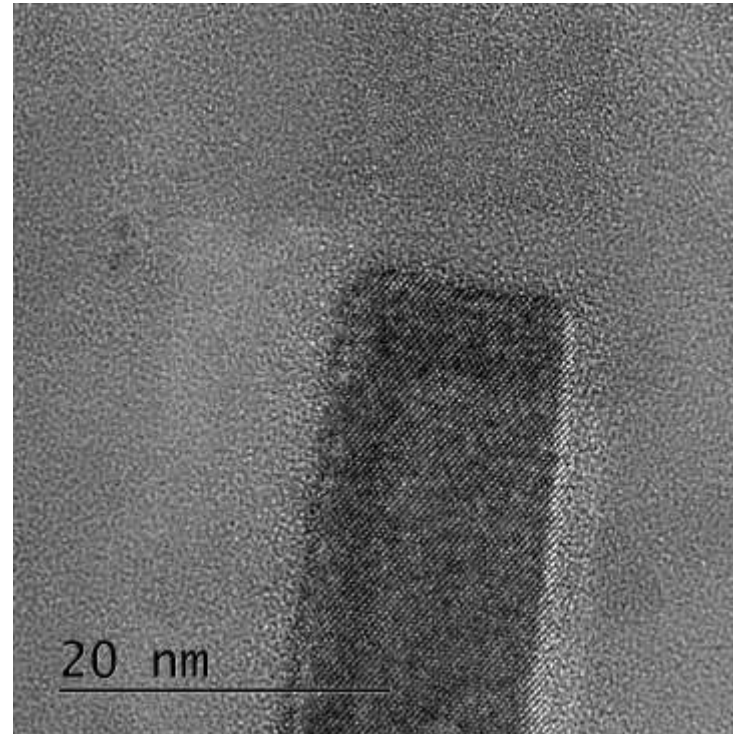
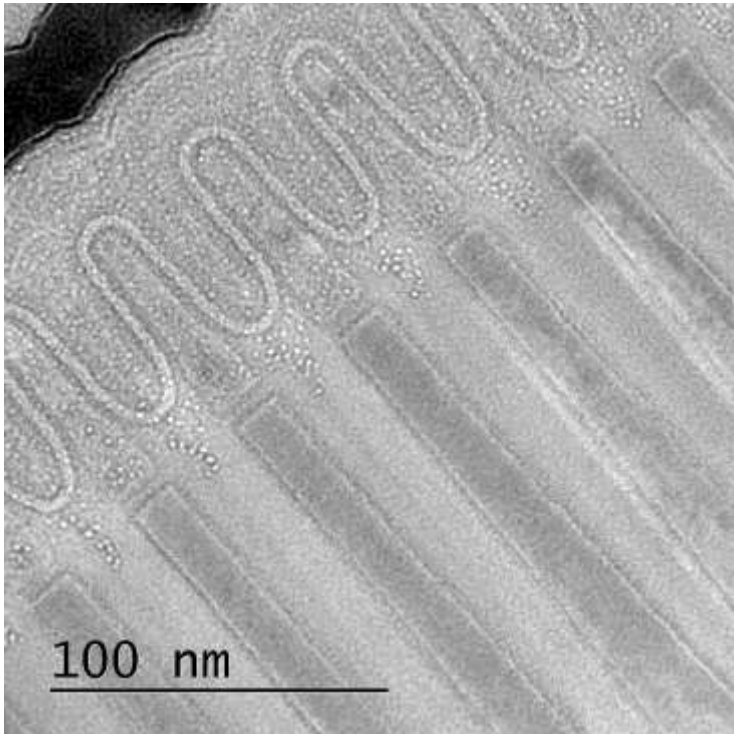


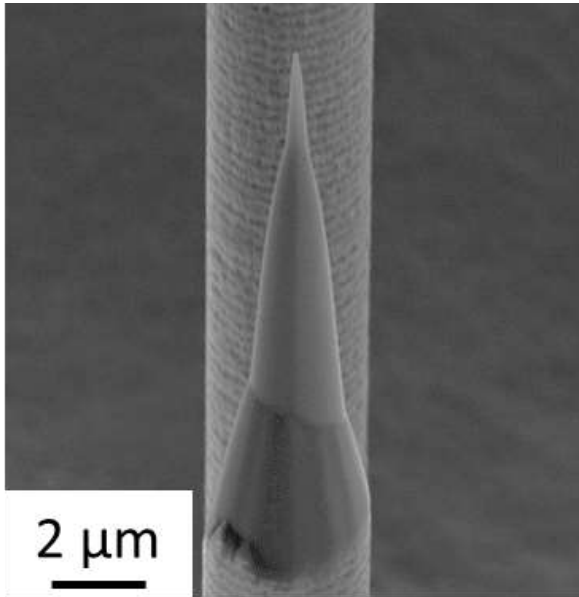
Figure 16: PFIB TEM lamella ($60 \times 30 \mu\text{m}^2$) creation and TEM inspection of a TSV. Backscatter electron contrast measurements indicate a 100-200 nm lamella thickness.

- Utiliser des ions Xénon au lieu du Gallium
 - Réactivité des espèces Xe vs. Ga



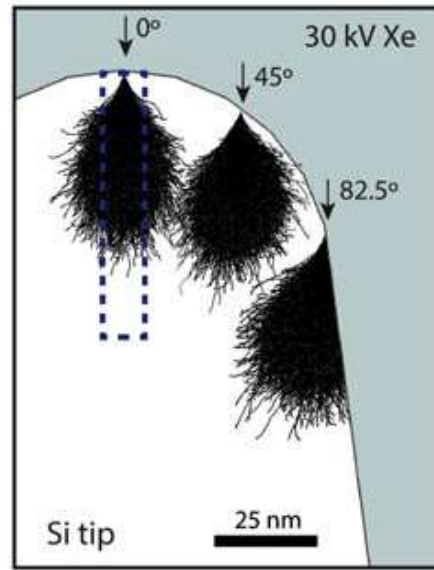
Hrncir et al., ISTFA 2015

POINTES POUR SONDE ATOMIQUE TOMOGRAPHIQUE

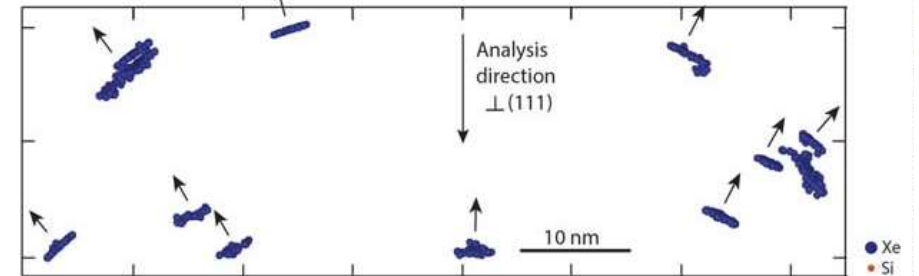
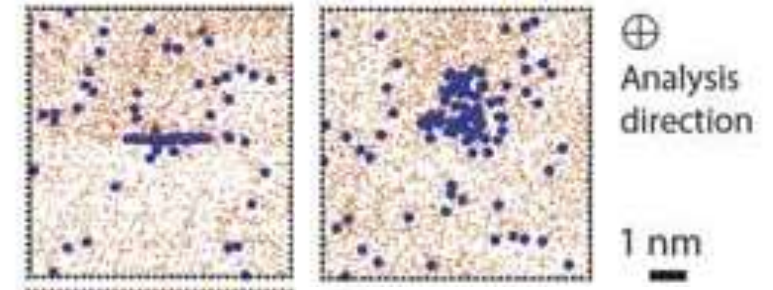


Pointe sur Silicium – PFIB Xe 30kV

Cluster de Xe dans la pointe

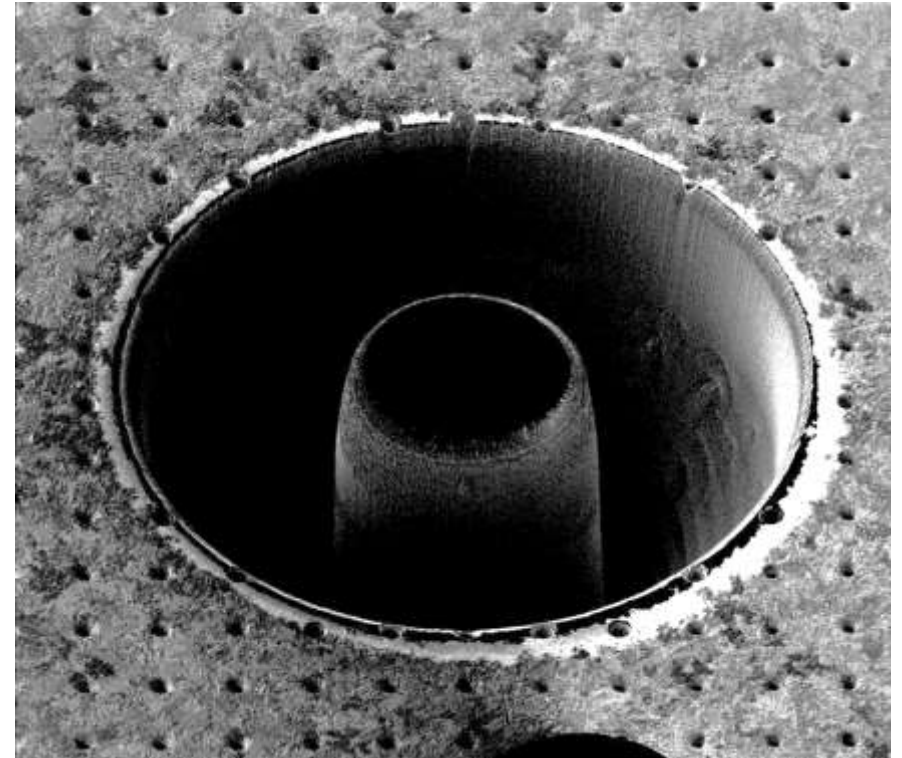
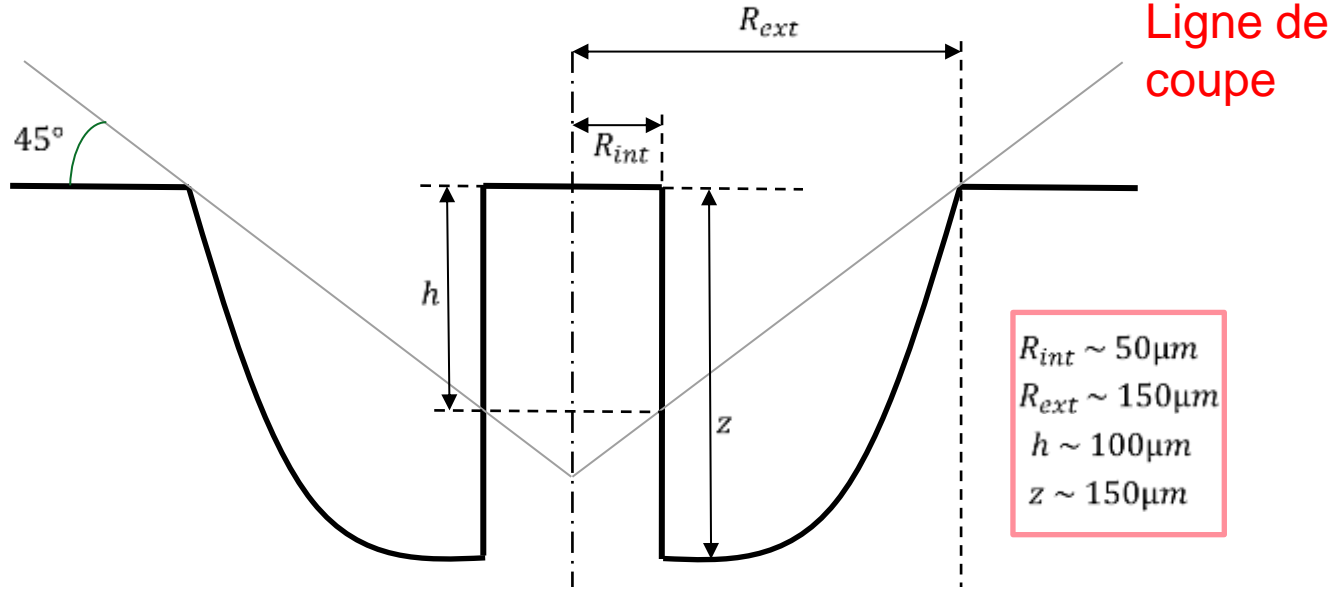


Xenon ion range



Estivill et al., M&M 2016

PILIERS POUR TOMOGRAPHIE X



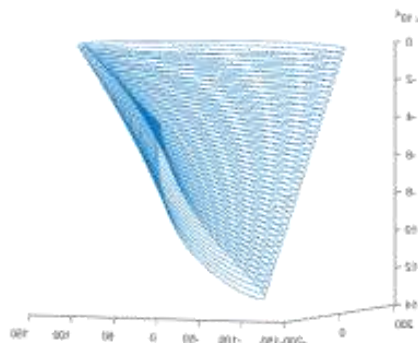
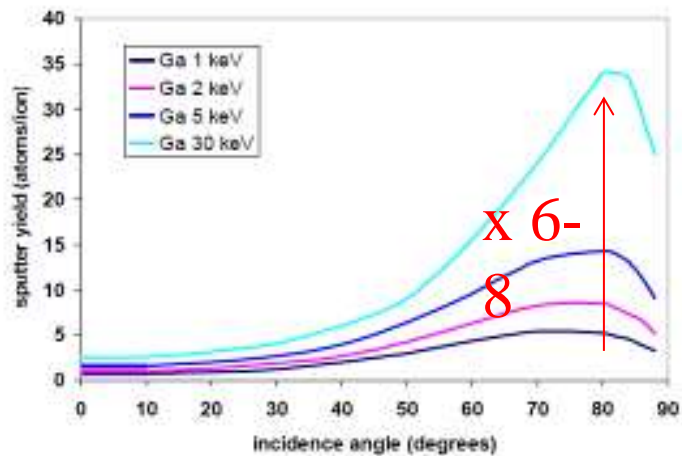
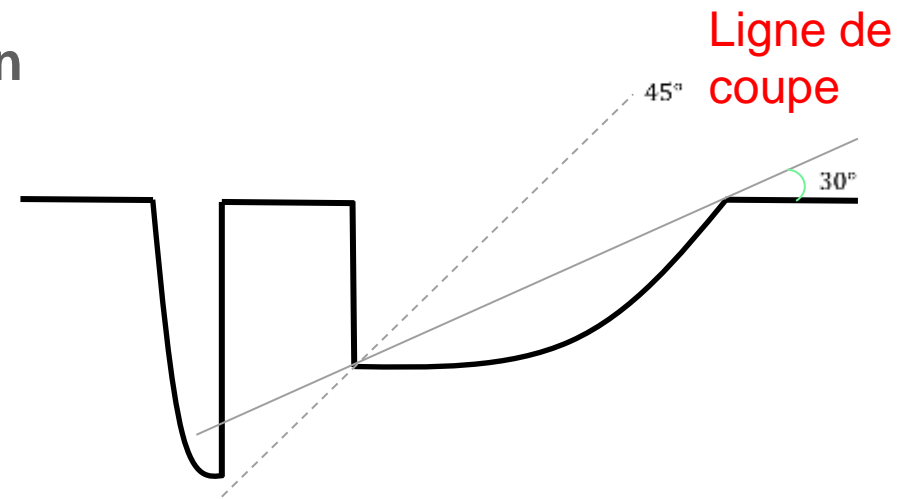
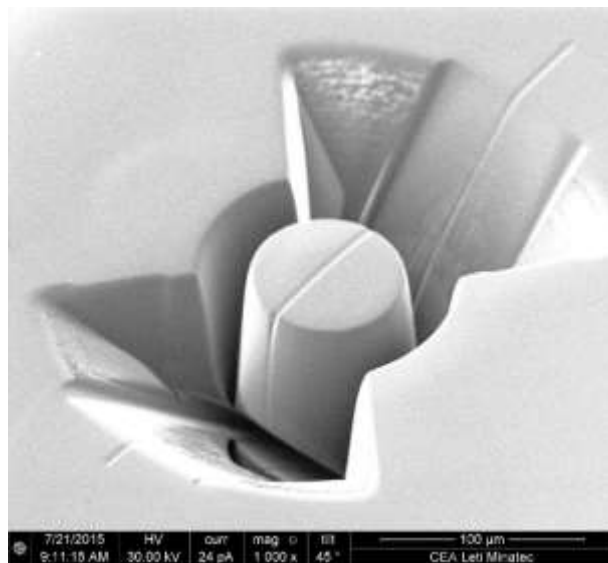
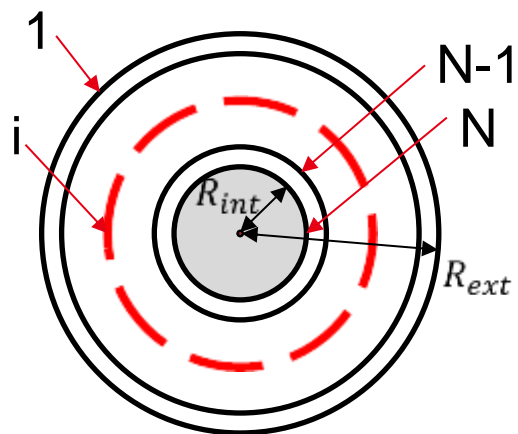
Volume à graver $\sim 5 \cdot 10^6 \mu m^3$

Avec un FIB Ga at 30kV/65nA ----- ~ 10 days at $5\mu m^3/sec$

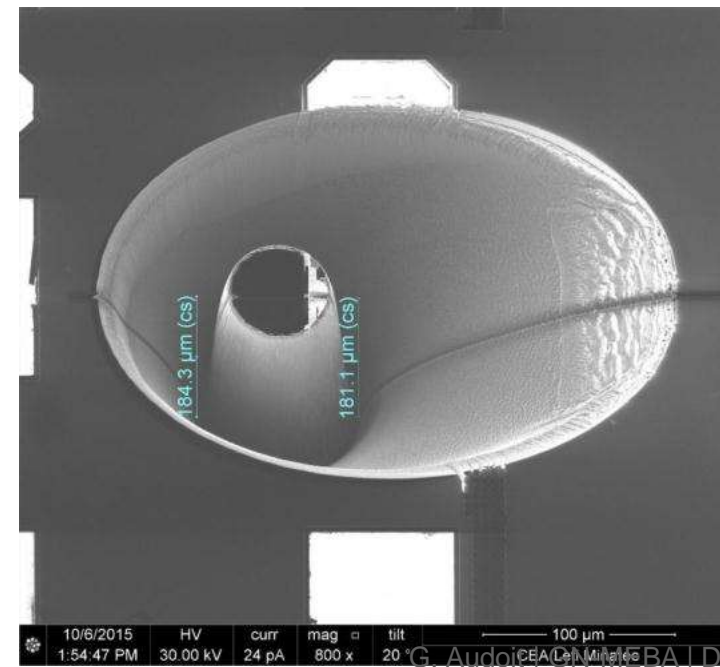
On a Xe PFIB at 30kV/2 μA ----- ~ 5 hours at $60\mu m^3/sec$

PILIERS POUR TOMOGRAPHIE X

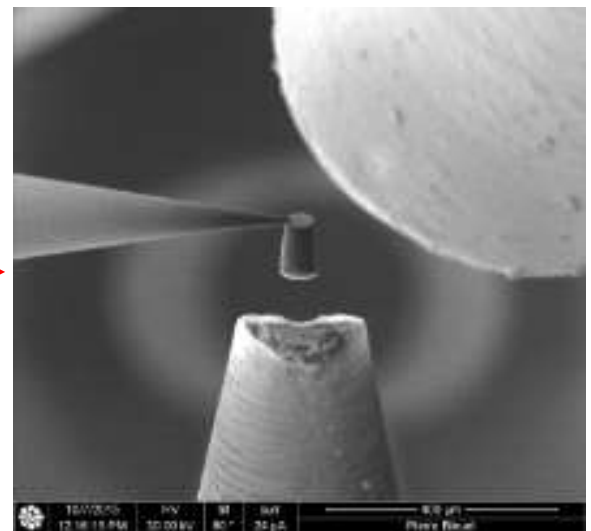
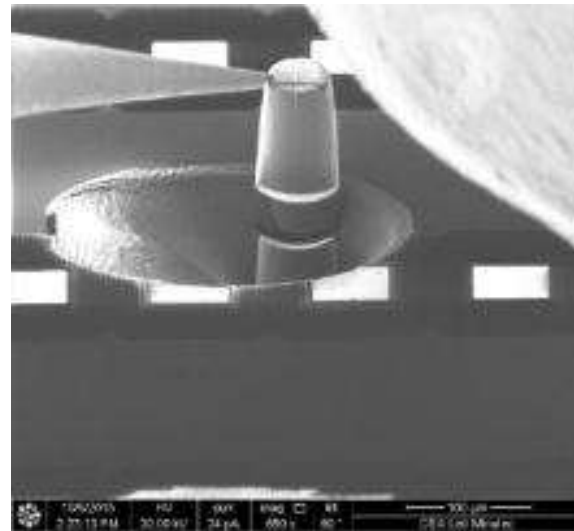
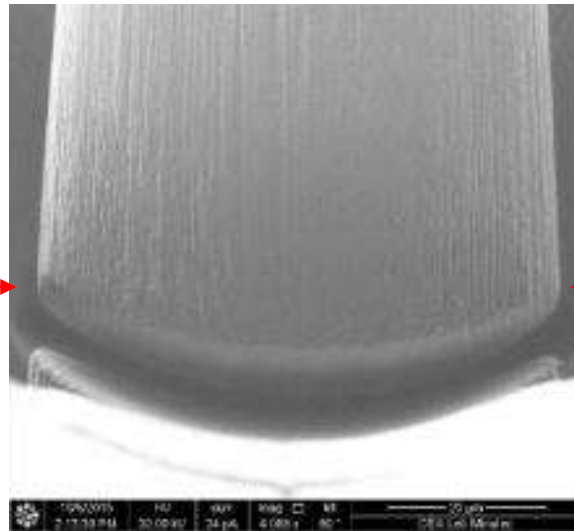
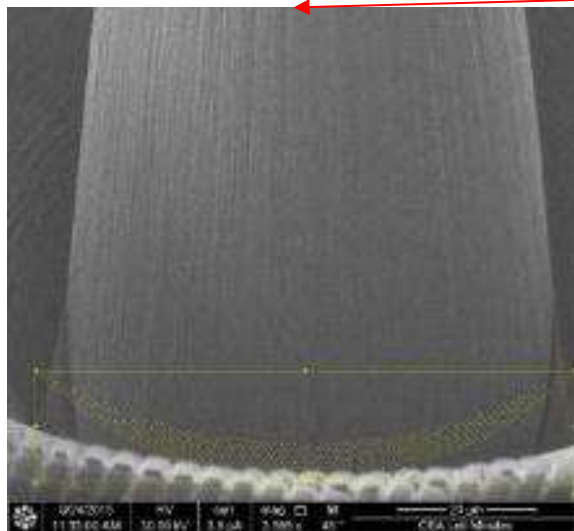
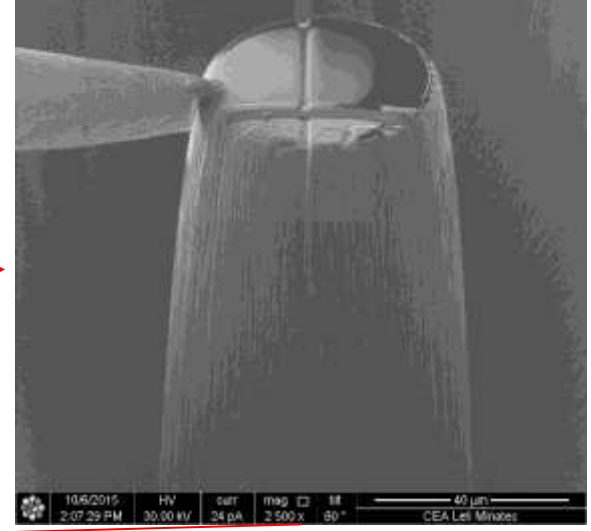
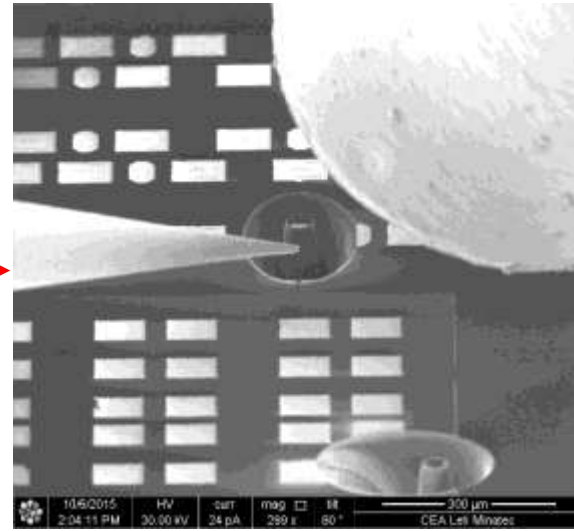
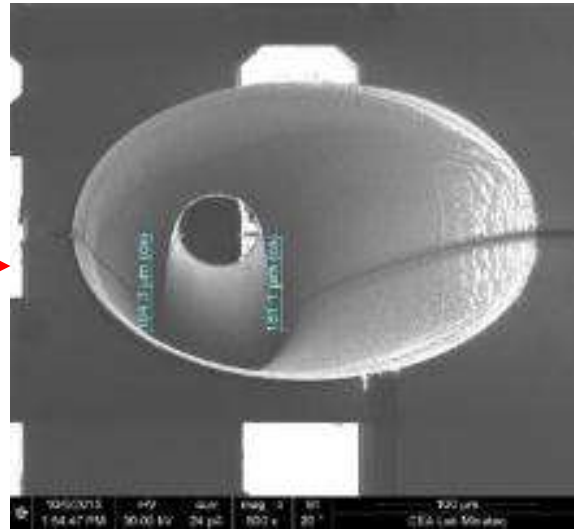
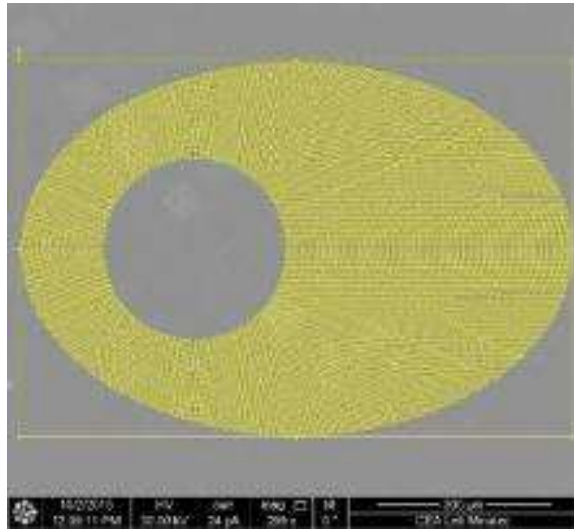
- Optimisation de la stratégie de scan du faisceau Xénon

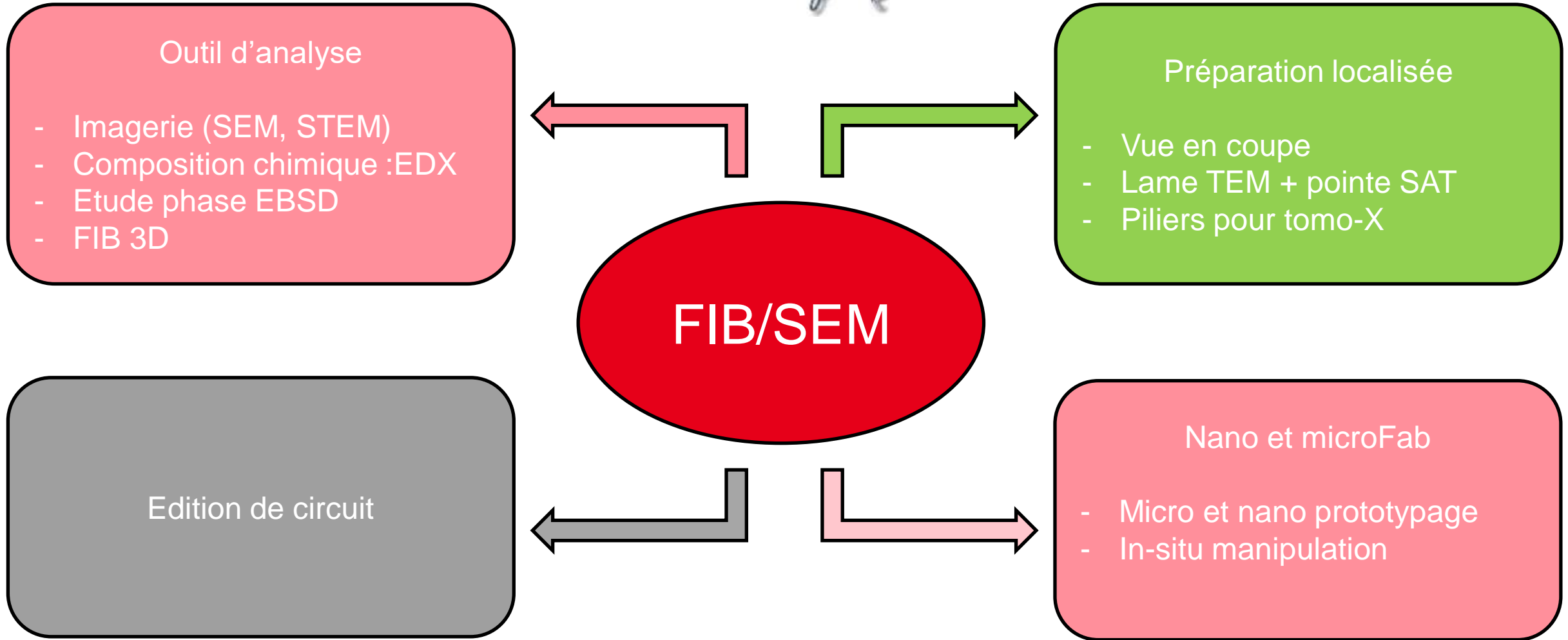


Patent FEI - LETI, n°20180143110



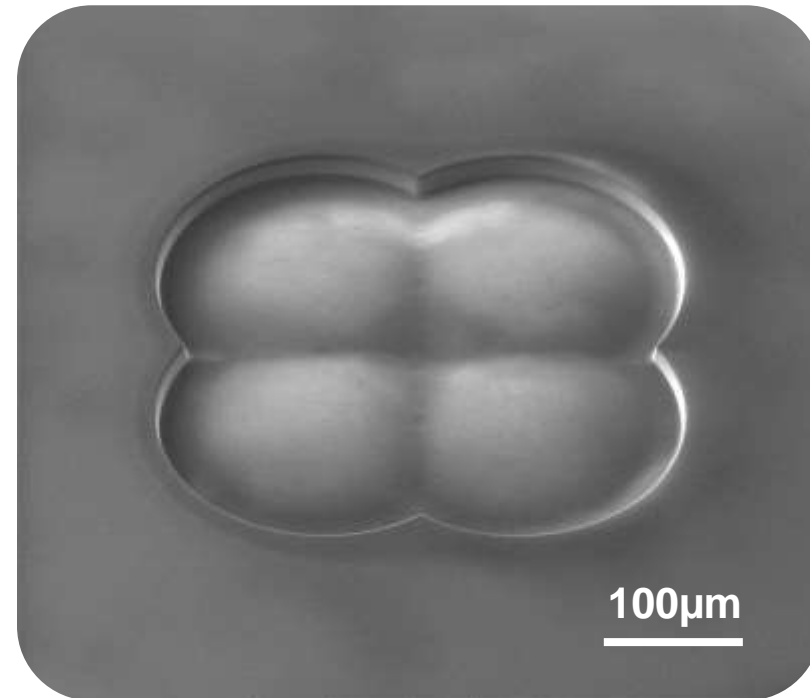
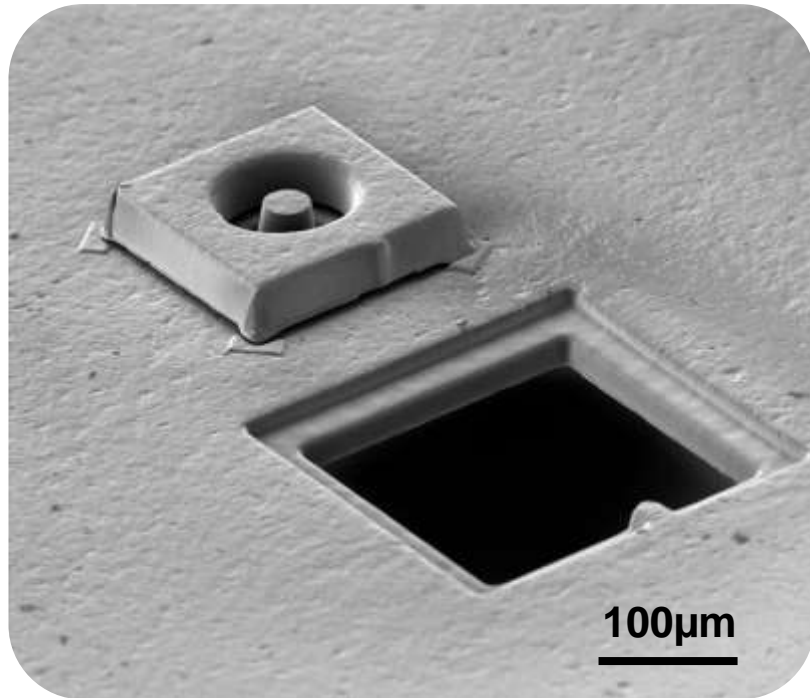
PILIERS POUR TOMOGRAPHIE X



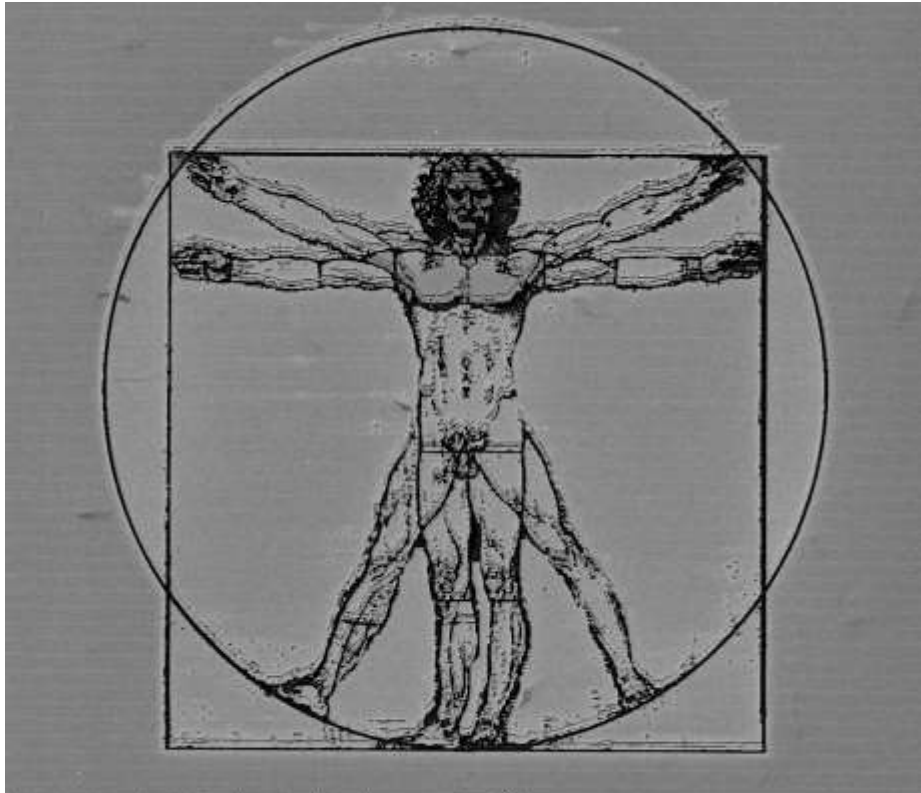


OUTIL DE PROTOTYPAGE ET DE MANIPULATION IN-SITU

- Echelle sup-100 μ m

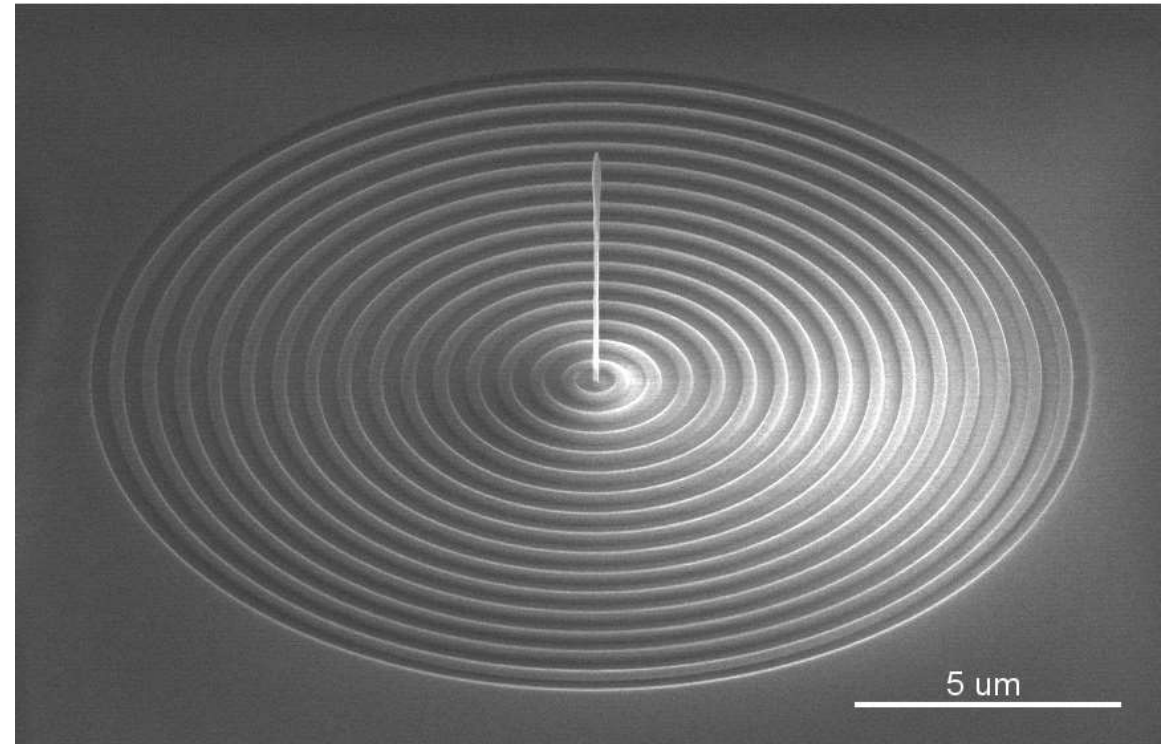


- Prototyping system

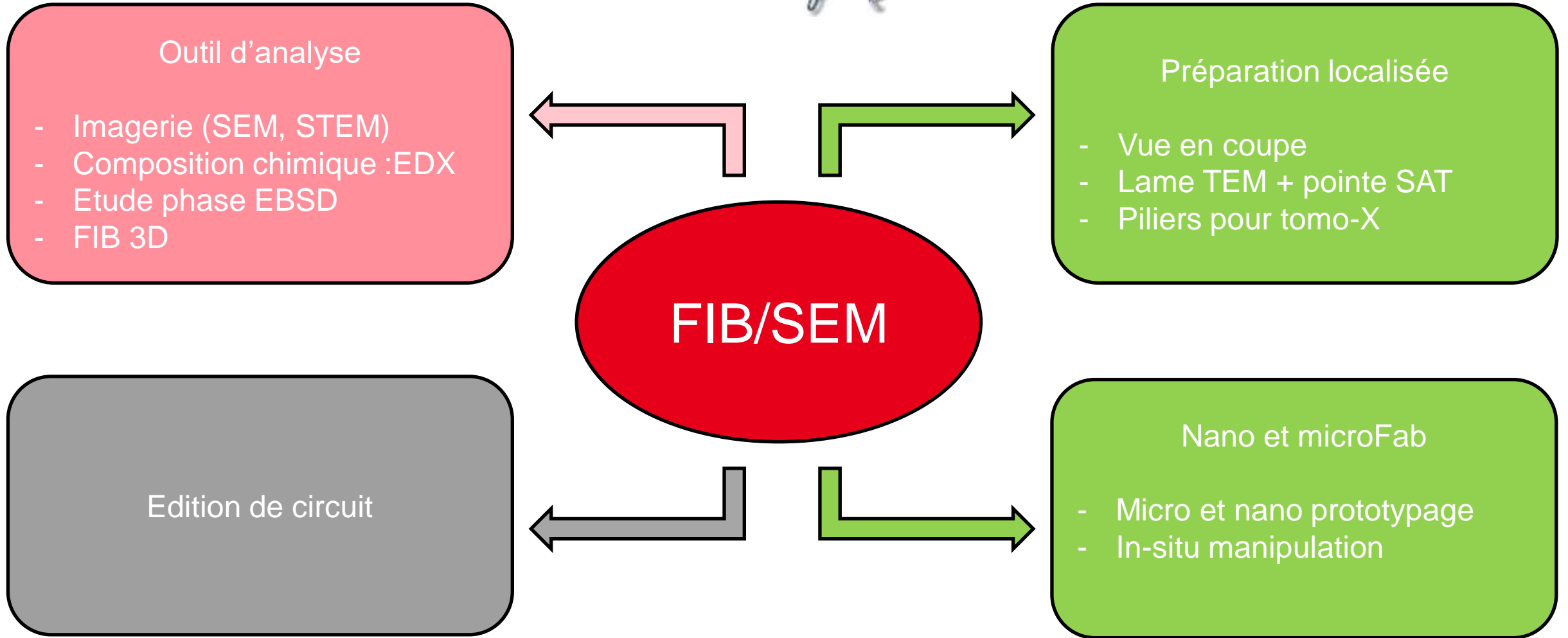


50 μm champ de vue

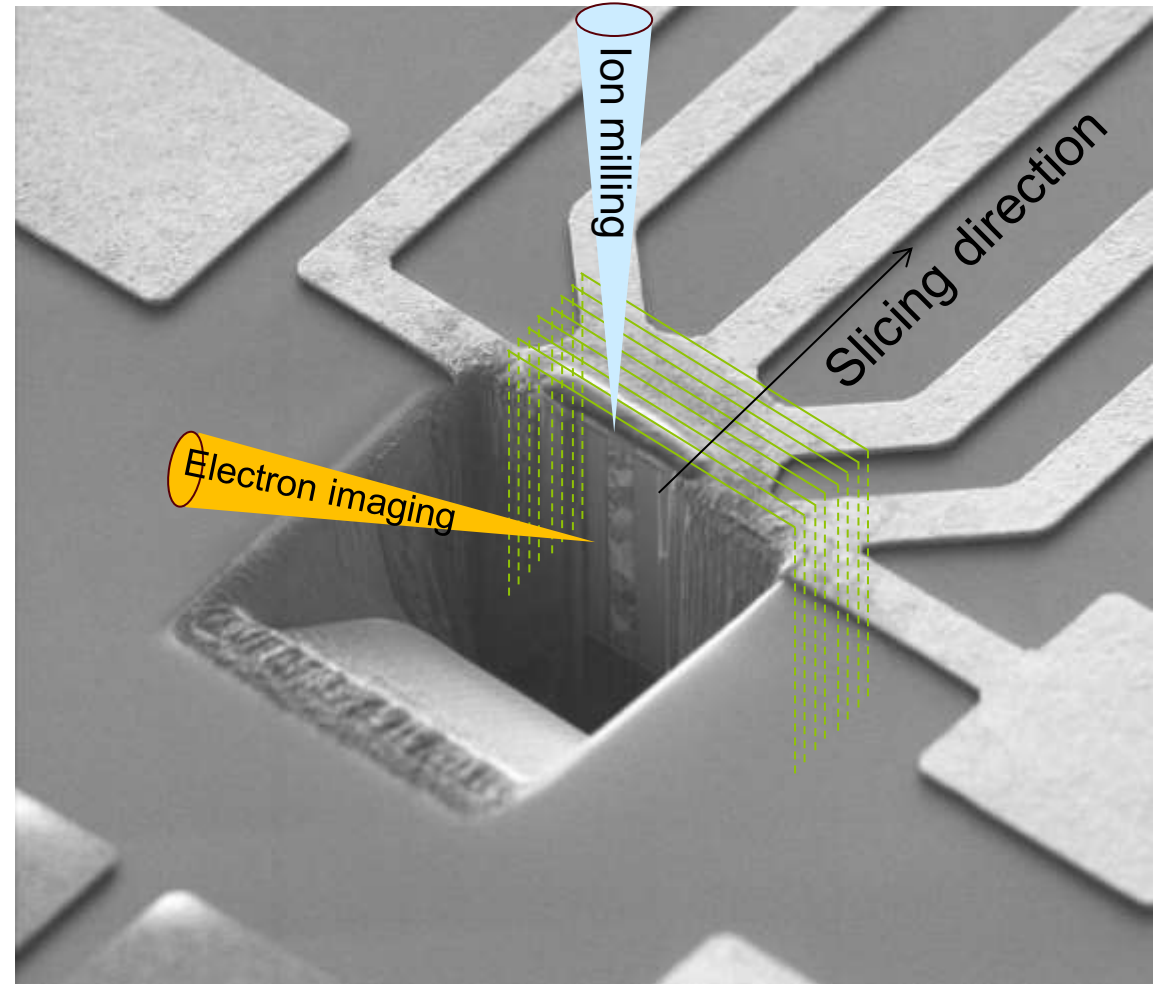
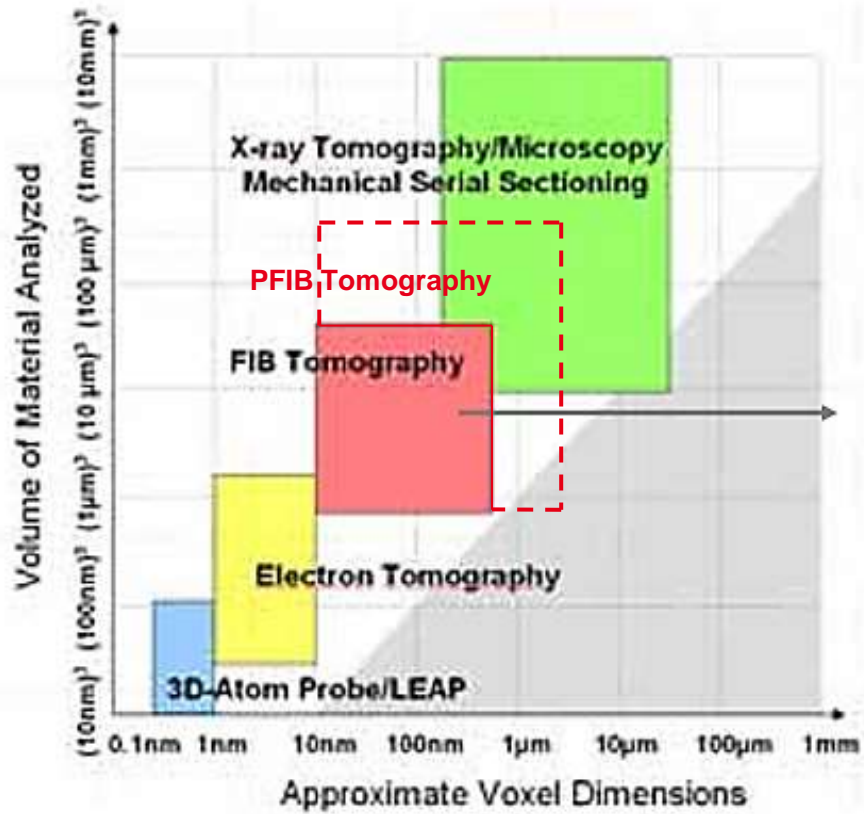
PFIB



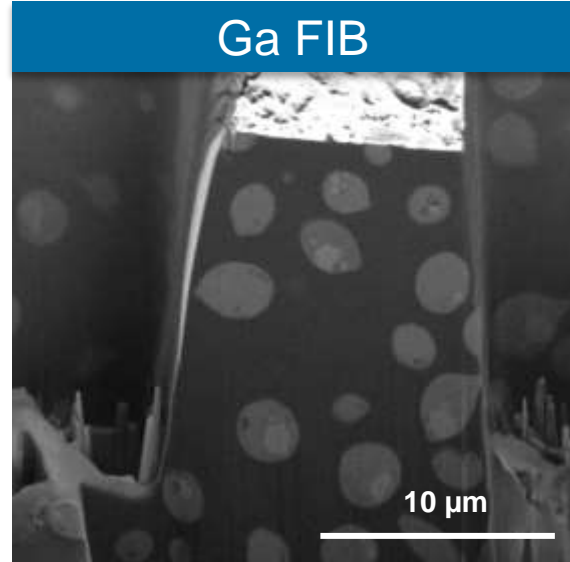
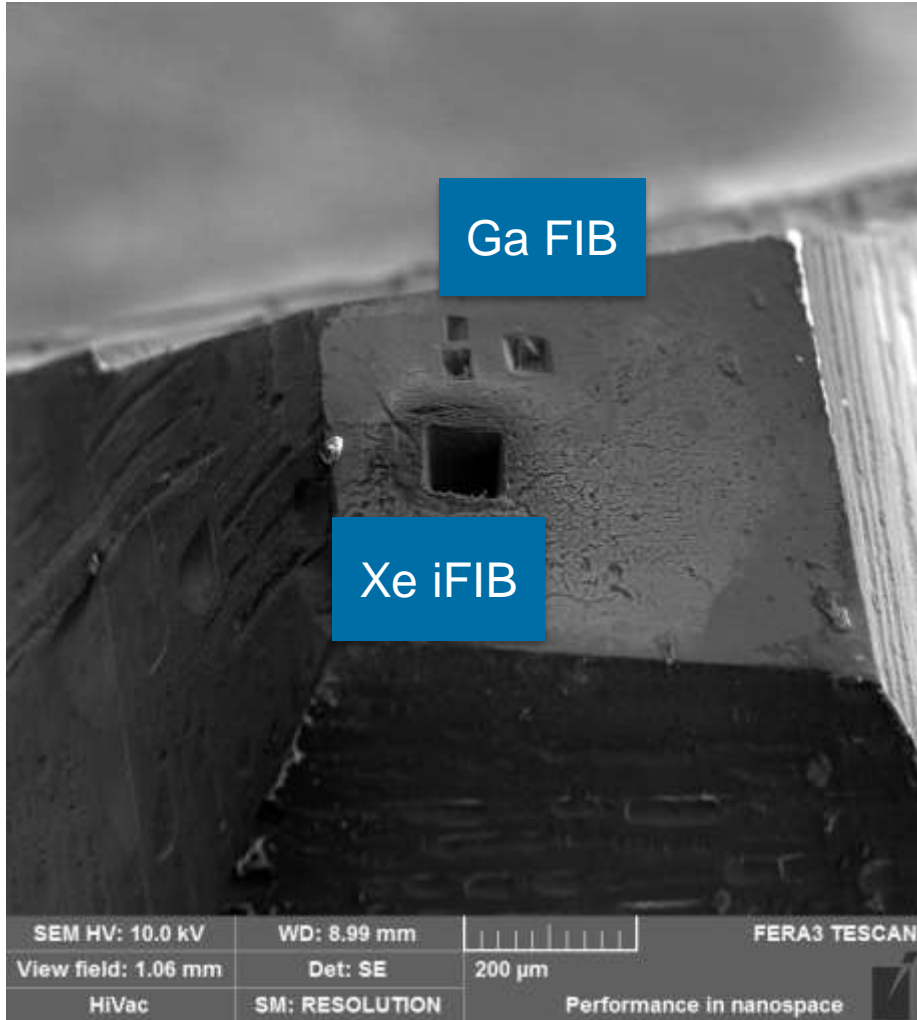
Ga FIB



- Principle



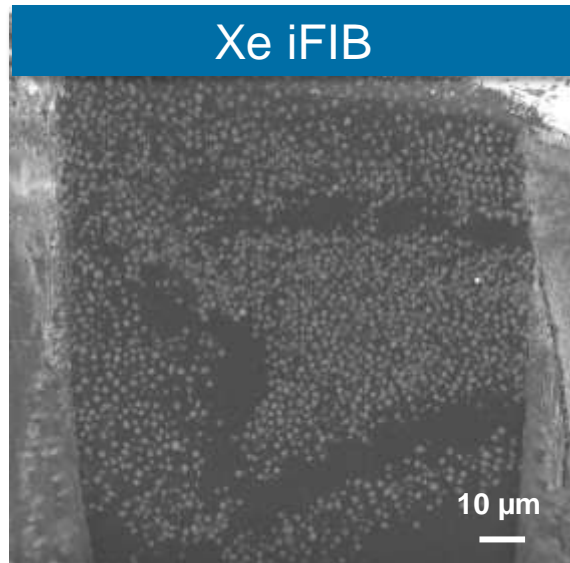
OUTIL D'ANALYSE: PFIB 3D



20μm x 20μm

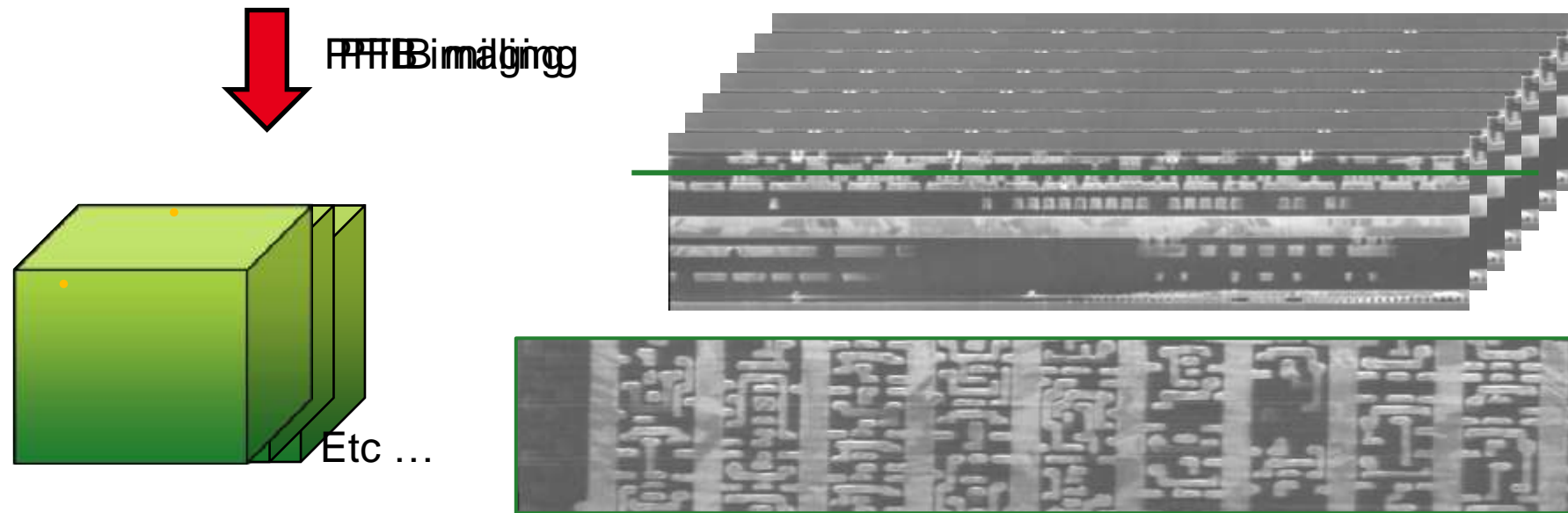


Données fournies par Tomáš Hrnčíř
Tescan Brno



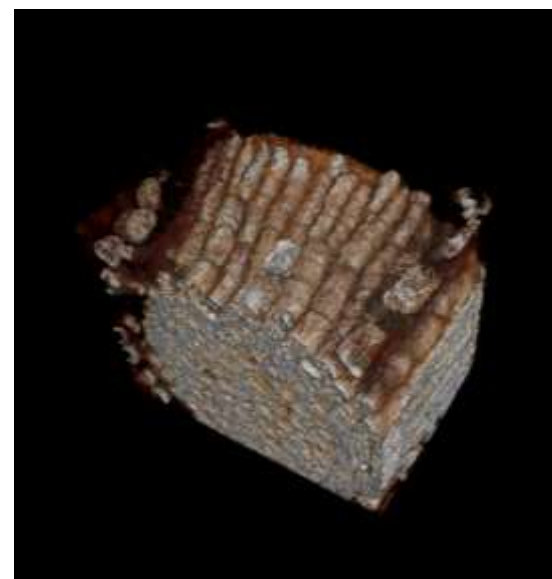
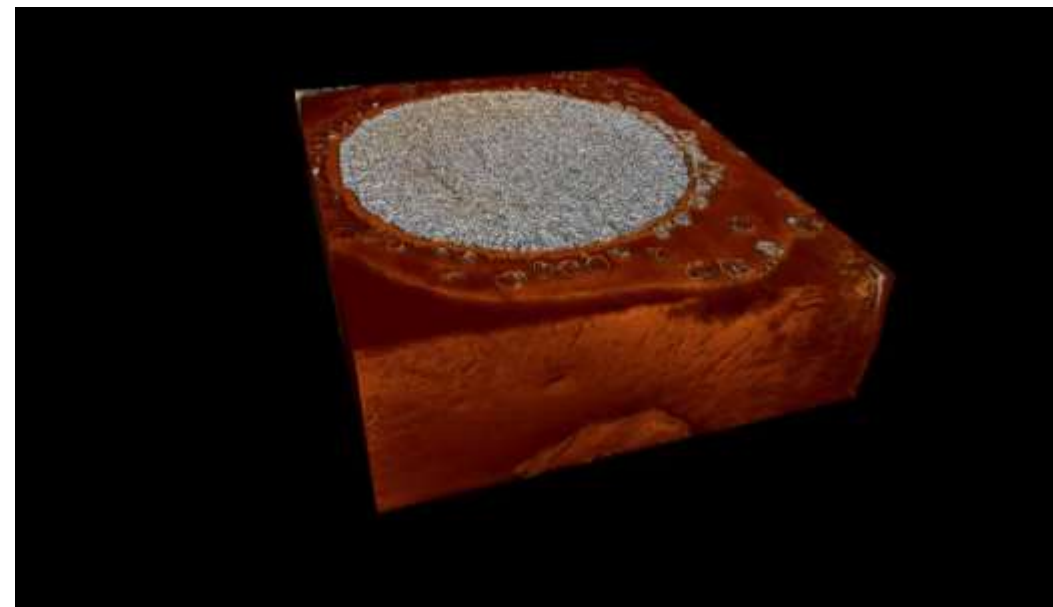
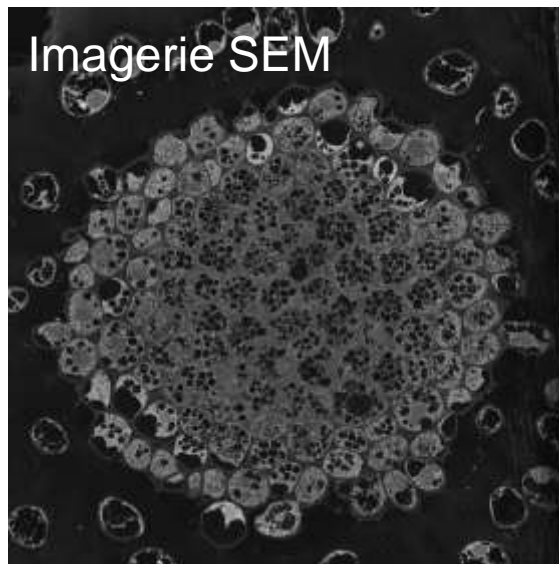
100μm x 100μm

- PFIB/PFIB 3D



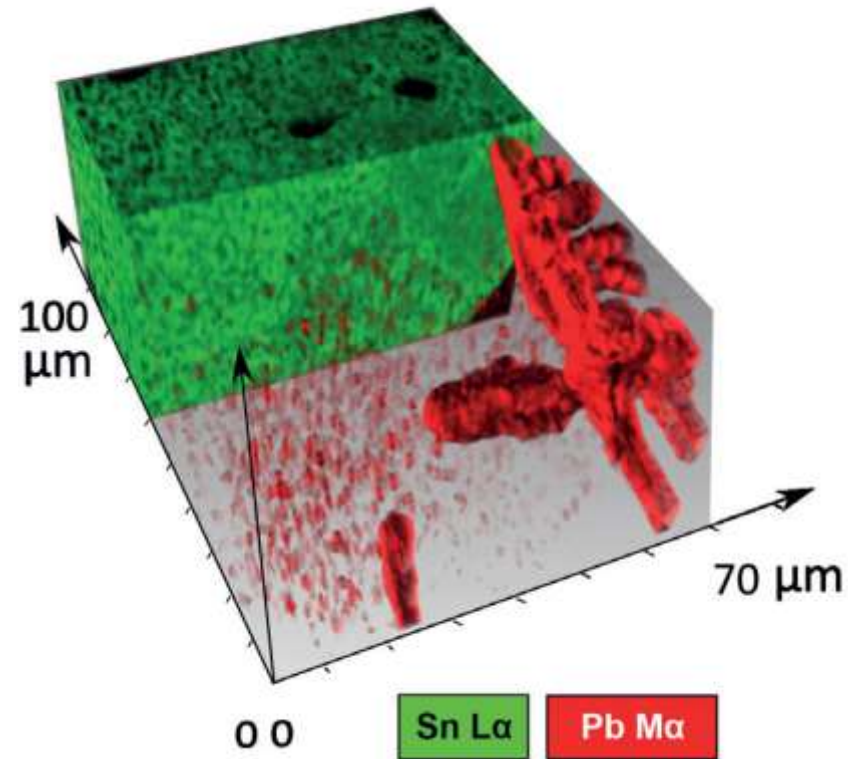
Thèse Alexandra Fraczkiwicz, CEA Leti, 2017

PFIB/SEM 3D SUR RACINE D'ORGE



- Possibilité de coupler l'imagerie avec
 - Analyse chimique par EDX

Soudure SnPb

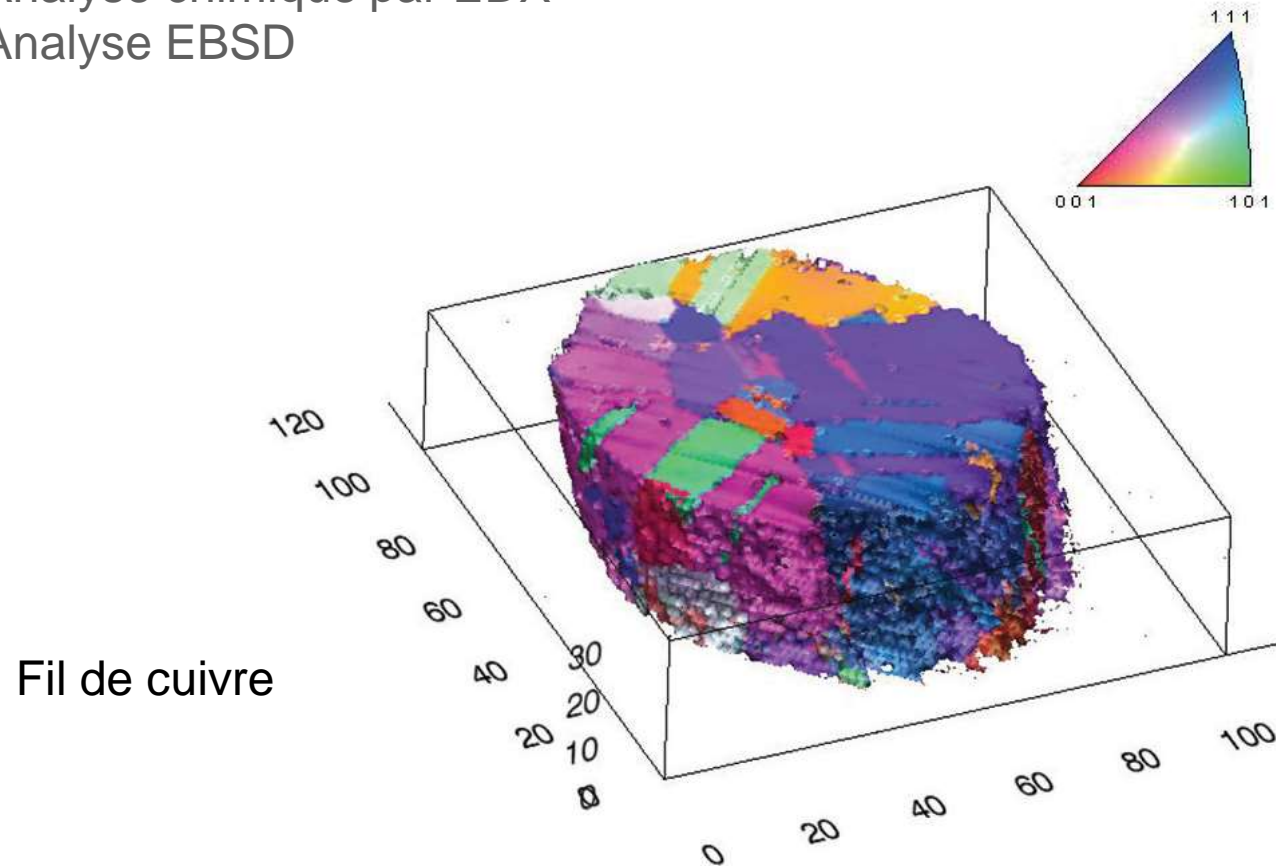


100 x 70 x 45 μm³
2,5 h acquisition
45 tranches



Données fournies par Tomáš Hrnčíř
Tescan Brno

- Possibilité de coupler l'imagerie avec
 - Analyse chimique par EDX
 - Analyse EBSD



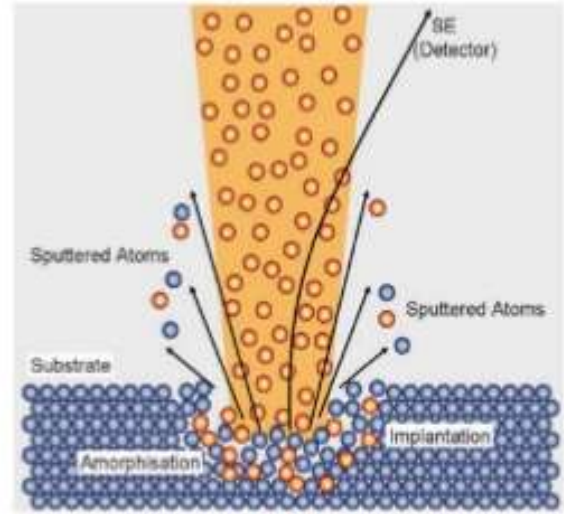
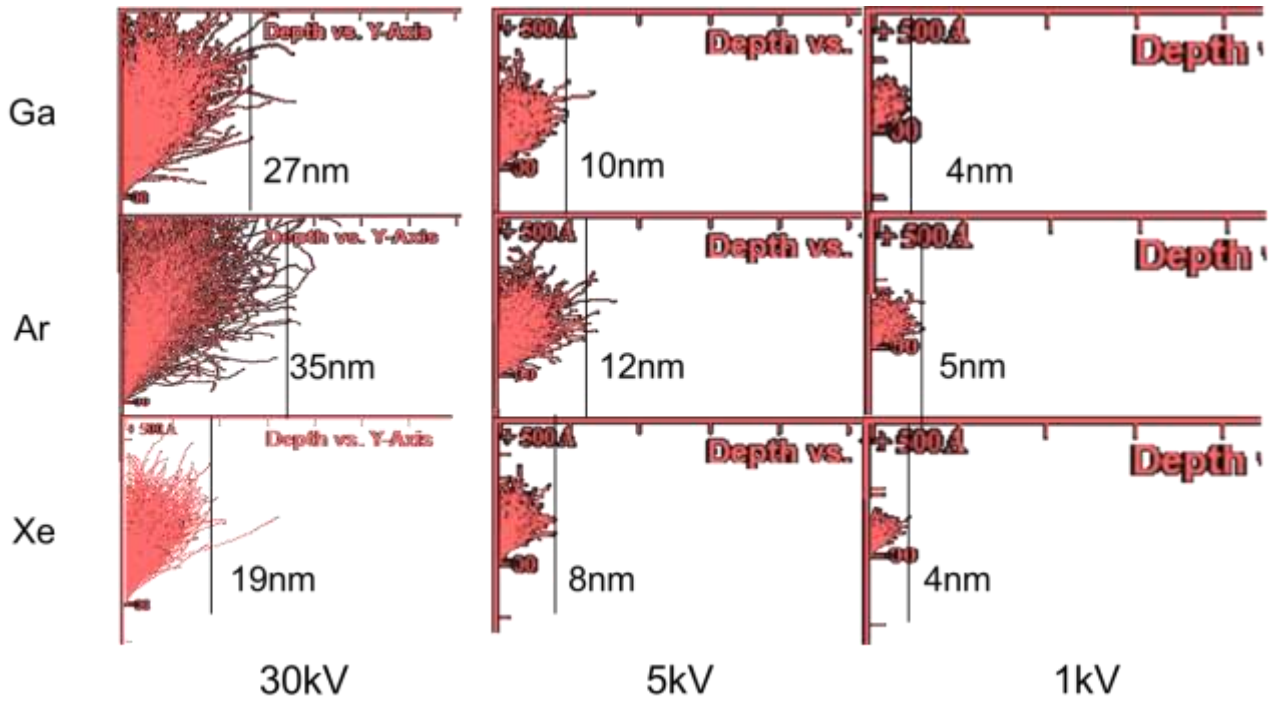
100 x 100 x 30 μm^3
2,5 h acquisition
30 tranches
1 min de coupe + 4 min acquisition EBSD



Données fournies par Tomáš Hrnčíř
Tescan Brno

ARTEFACTS

- Perte de la structure cristalline (amorphisation)



Stopping and range of ions in matter Monte Carlo simulation

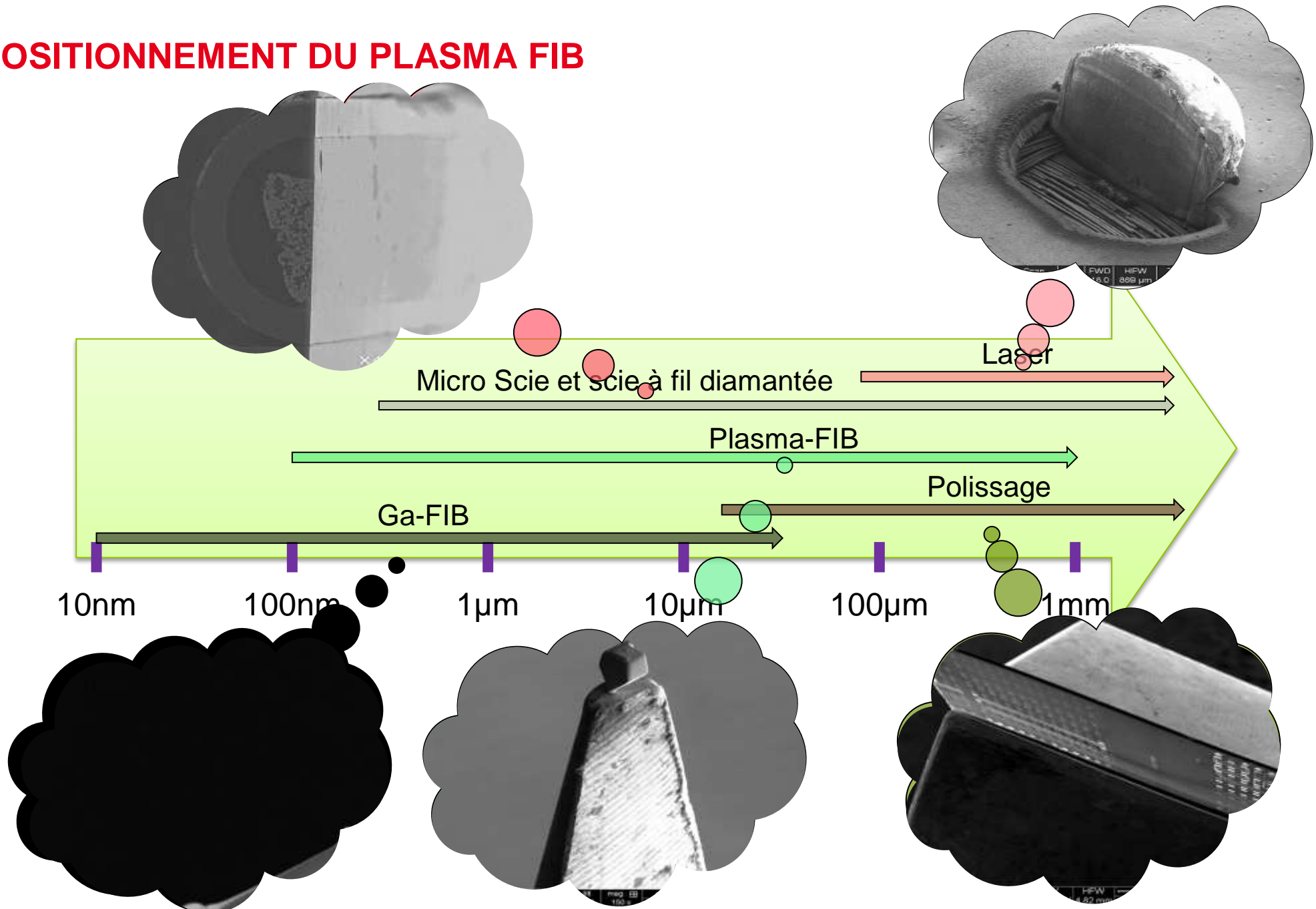
- Implantation des espèces ioniques (Xénons)
- Génération de phonons: augmentation locale de la température

- **Un Plasma FIB permet:**
 - D'atteindre des zones enterrées (sub100µm), localisée ou non
 - D'analyser de larges zones
 - D'avoir plus de statistique

- **Quand utiliser le PFIB:**
 - Sur un échantillon difficile ou impossible à polir
 - Sensible à l'eau
 - Fragile ou cassant
 - Matériau mou qui tartine
 - Empilement de matériaux très inhomogènes
 - Pour des préparations spécifiques
 - Cylindres pour la tomographie R-X
 - Lames TEM
 - Pointes SAT
 - Lorsque les coupes au FIB Gallium pose problème (matériaux chimiquement sensibles au gallium)

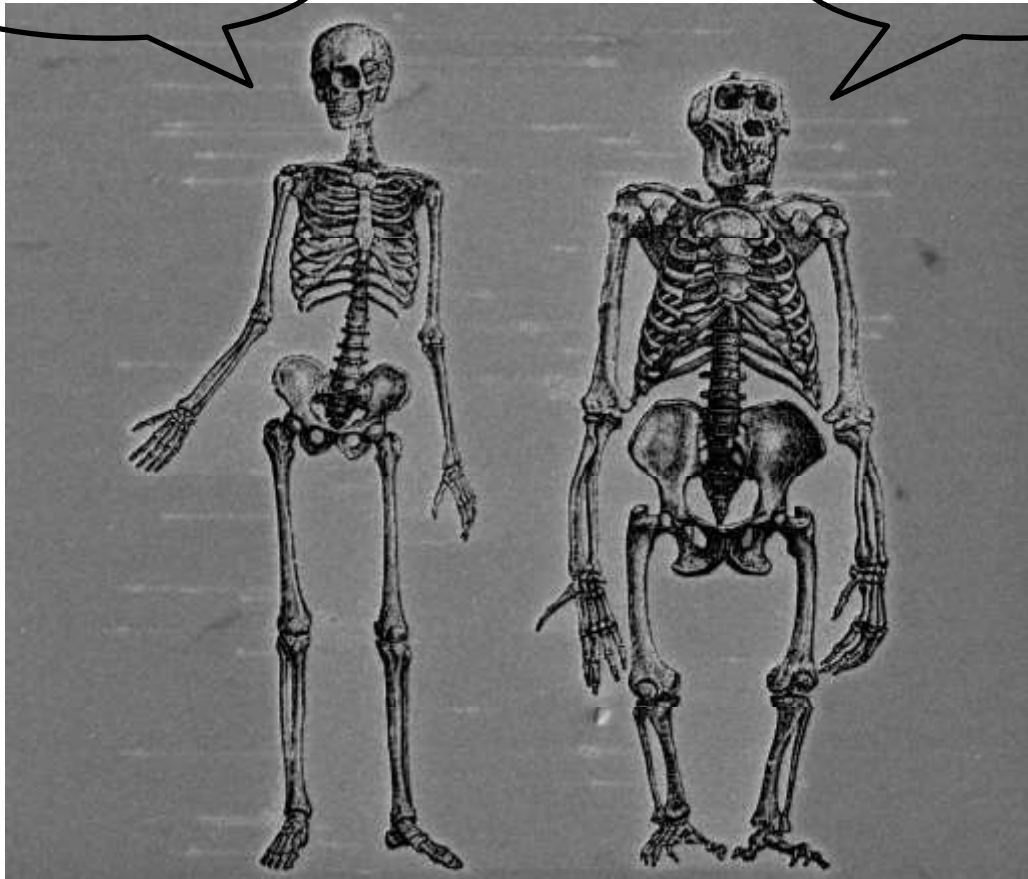
- **Nouvelles perspectives instrumentales annoncées (IMC '18): source modulable multi-gaz (Xe, O, N, Ar)**

POSITIONNEMENT DU PLASMA FIB



Questions ?

Anyone ?



Troisième workshop du réseau FIB européen

12-14 juin 2019

Dresde, Allemagne

www.eu-f-n.org

Contact: guillaume.audoit@cea.fr

Merci à



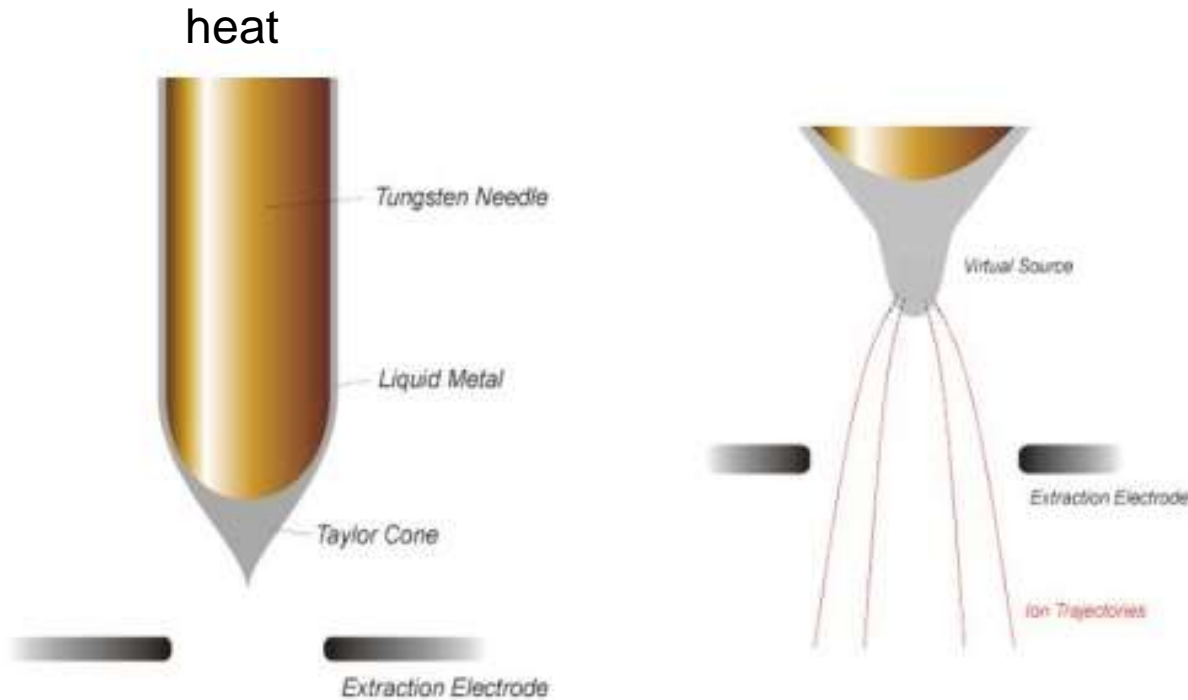


Leti, technology research institute
Commissariat à l'énergie atomique et aux énergies alternatives
Minatec Campus | 17 rue des Martyrs | 38054 Grenoble Cedex | France
www.leti.fr



LIQUID METAL ION SOURCE

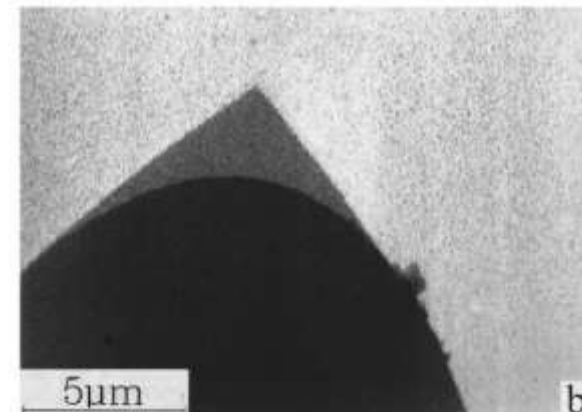
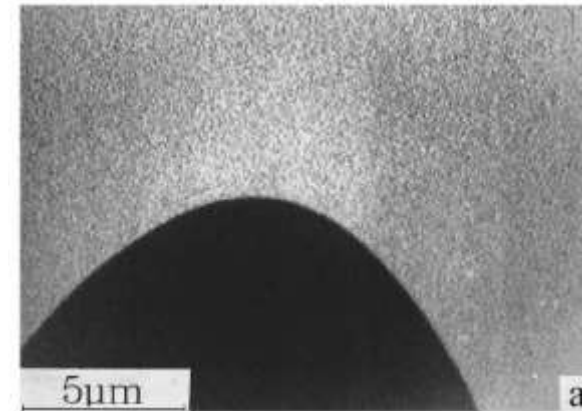
- Principe



Extraction voltage



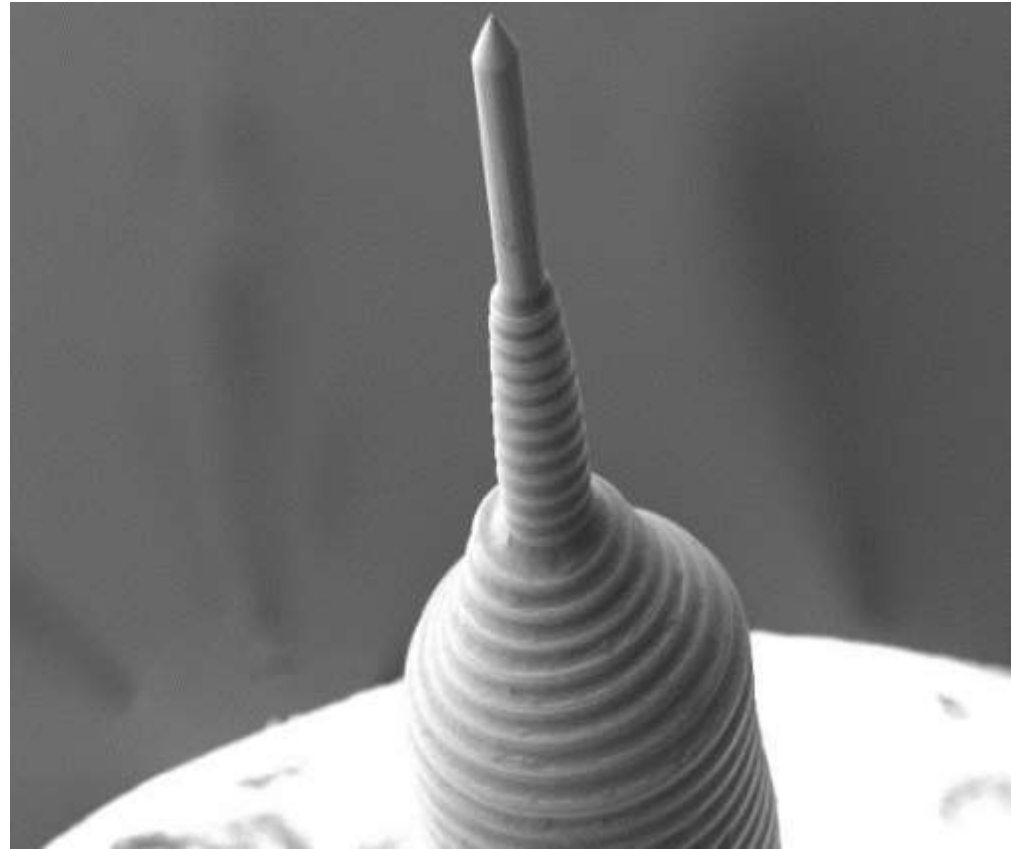
Taylor cone + Electric field 10 V / nm
Point source 2 - 5 nm in diameter



in less than
1/50 second...



LIQUID METAL ION SOURCE



LIQUID METAL ION SOURCE

- LMIS's have been made from many materials
- Requirements:
 - Low melting point (29.8°C for Ga) → no interdiffusion
 - Low volatility at the melting point
 - Low surface energy free energy (viscous behavior)
 - Low vapor pressure (pure form, no evaporation)
 - Excellent mechanical, electrical, vacuum properties
 - Good emission characteristics

H																			He
Li	Be										B	C	N	O	F				Ne
Na	Mg										Al	Si	P	S	Cl				Ar
K	Ca	Sc	Ti	V	Cr	Mn	Fe	Co	Ni	Cu	Zn	Ga	Ge	As	Se	Br			Kr
Rb	Sr	Y	Zr	Nb	Mo	Tc	Ru	Rh	Pd	Ag	Cd	In	Sn	Sb	Te	I			Xe
Cs	Ba	La	Hf	Ta	W	Re	Os	Ir	Pt	Au	Hg	Tl	Pb	Bi	Po	At			Rn
Fr	Ra	Ac	Unq	Unp	Unh														
		Ce	Pr	Nd	Pm	Sm	Eu	Gd	Tb	Dy	Ho	Er	Tm	Yb	Lu				
		Th	Pa	U	Np	Pu	Am	Cm	Bk	Cf	Es	Fm	Md	No	Lr				

FOCUSED ION BEAM SOURCE

- FIB column**

- Ion source : bright, small (~50nm)
- Electrostatic lenses,
- Beam deflectors and a stigmator
- Operating currents

Beam current (pA)	Spot Size (nm)
-------------------	----------------

1	7
10	12
30	16
50	19
100	23
500	39
3000	81
20000	427

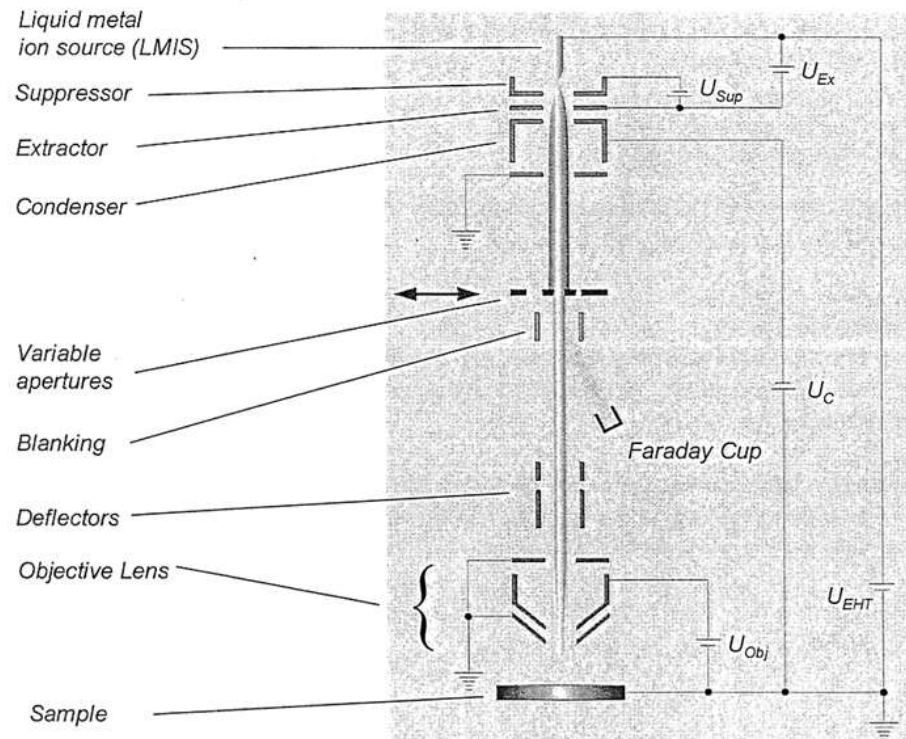
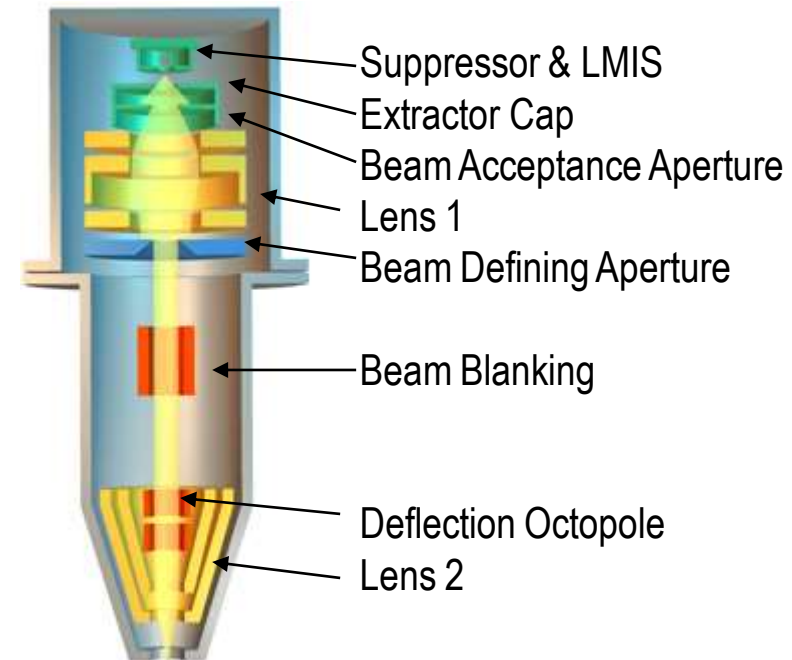


Fig. 2-1 Overview over the ion column



GALLIUM LIQUIDE VS. PLASMA XENON

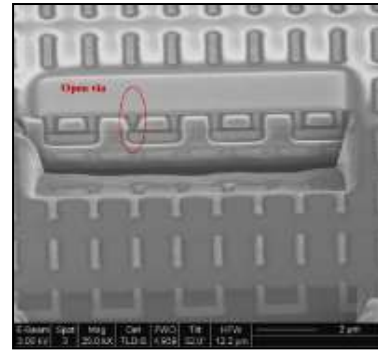
- Intensité des courants jusqu'à quelques μA (vs 100nA pour LMIS Ga)
- Le Xénon est plus lourd que le gallium



Un PFIB grave plus vite

Ou

A temps égal, de plus grand volumes peuvent être gravés

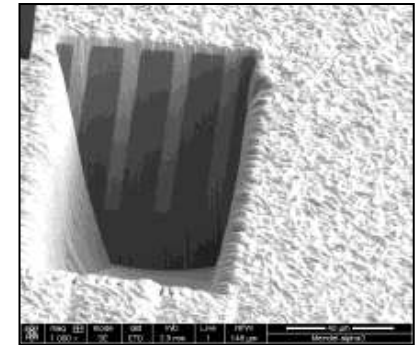


More Moore:

Typical volumes: $10 \times 10 \times 10 \mu\text{m}^3$

Standard FIB mill rate $< 5 \mu\text{m}^3 / \text{s}$

Total Mill time ~ **3-10 min with Ga-FIB**



More than Moore:

Typical volumes: $100 \times 100 \times 100 \mu\text{m}^3$

Standard FIB mill rate $< 5 \mu\text{m}^3 / \text{s}$

Total Mill time ~ **50 hrs with Ga-FIB**
1 hr with Xe-FIB

FOCUSED ION BEAM ARTIFACTS AND LIMITATIONS: TEMPERATURE

[Ref]	Beam type	Conditions	Measure	Material	Temp (° C)
[1]	i-Beam	FIB, Ga+, 30kV/1nA FIB, Ga+, 30kV/0,1nA FIB, Ga+, 30kV/0,01nA	Nano-thermoprobe	Amorphous Si	1000° C 350° C 250° C
[2]	i-Beam	PIPS, Ar+, 6kV, 80° incidence	Thermo-couple	Glass, SiO2	330° C
[3]	e-Beam	SEM all tension and current	Monte Carlo	GaAs	Up to few 100° C
[4]	i-Beam	PIPS, Duo Mill, Ar+, 5kV	TEM imaging (structure)	Al	230 to 400° C
[5]	i-Beam	FIB, 30kV	Laser model simulation	Si, GaAs SiO2	100° C 1000° C

[1] Study of temperature rise during focused Ga ion beam irradiation using nanothermo-probe, Appl Surf Sc, **2009**

[2] Measurement and estimation of temperature rise in TEM sample during ion milling, Ultramicroscopy, **2007**

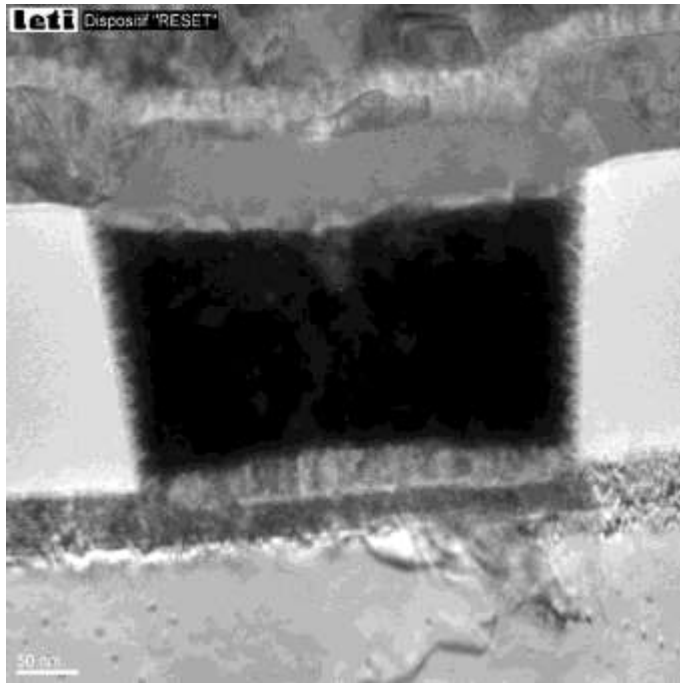
[3] Monte Carlo model of the temperature rise at a GaAs surface under an electron beam, Surf & Int An, **2006**

[4] Heating of TEM specimens during ion milling, Ultramicroscopy, **2001**

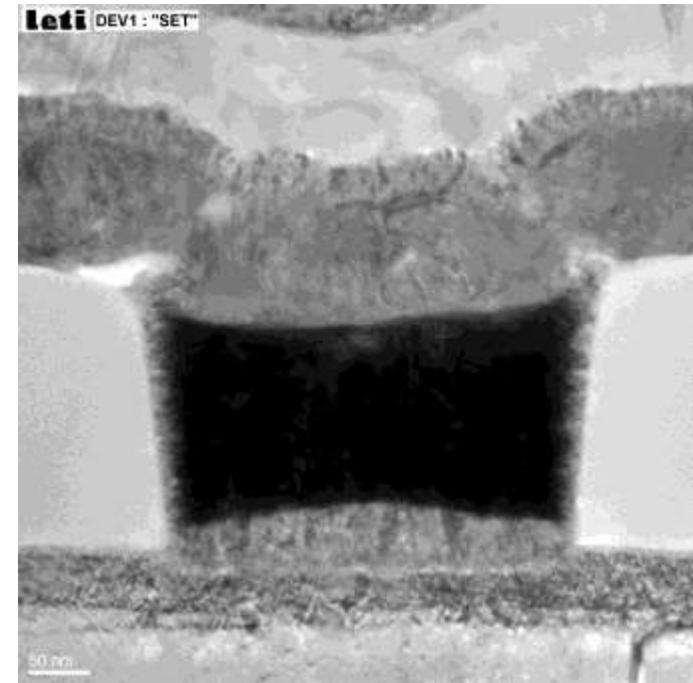
[5] Calculation of local temperature rise in FIB sample preparation, J. Electron. Micr., **1995**

FOCUSED ION BEAM ARTIFACTS AND LIMITATIONS: TEMPERATURE

- Example of temperature generated artifact: phase change memories material



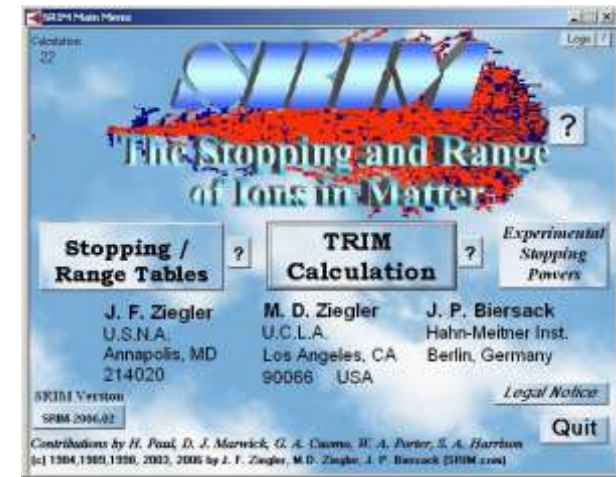
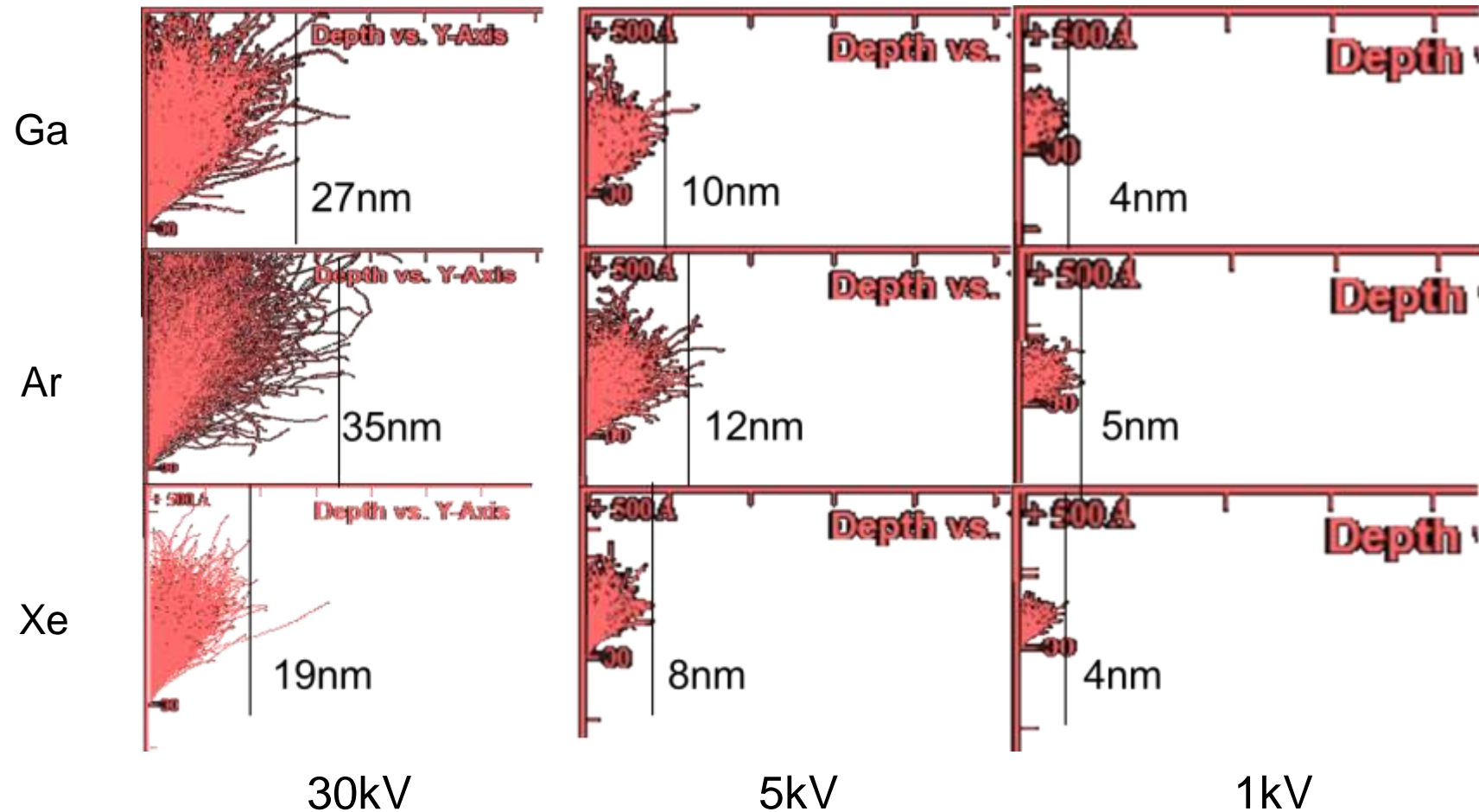
GeTe amorphous
RESET



GeTe cristalline
SET

LAMES TEM

- Utiliser des ions Xénon au lieu du gallium
 - Amorphisation et implantation



Stopping and range of ions in matter
Monte Carlo simulation

Hrncir et al., ISTFA 2015

